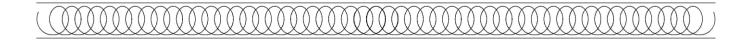
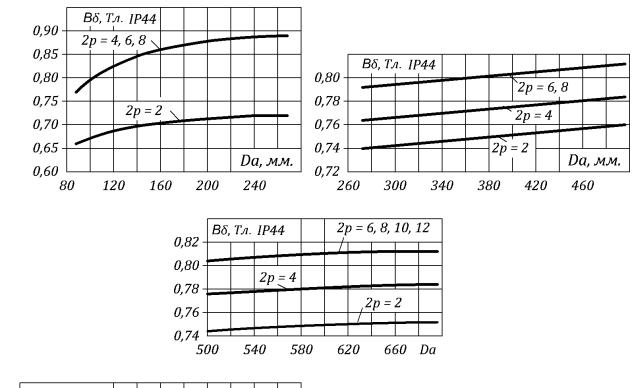
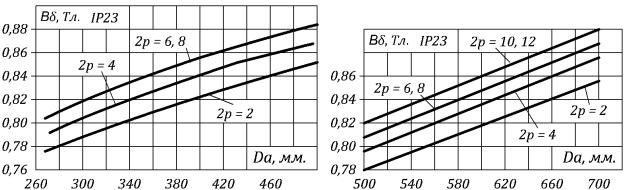


Приложения к расчету асинхронного двигателя до 100 *кВт* с короткозамкнутым ротором. С охлаждением вентилятором на валу IP23 – IP54.

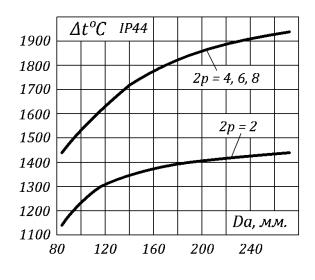


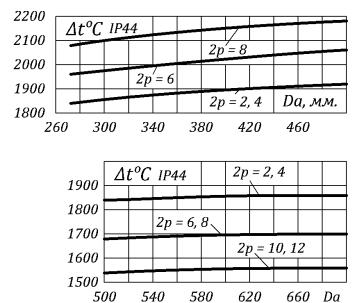
Гурин Я. С., Кузнецов Б. И. Проектирование серий электрических машин, 1978 г.

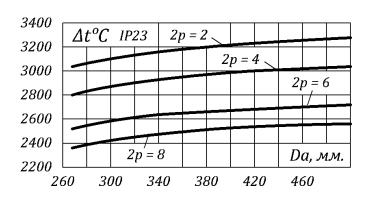


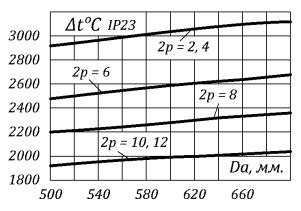


Средние значения $B\delta$ асинхронных двигателей со степенью защиты IP44 и IP23 до 660V с охлаждением вентилятором на валу при внешнем диаметре статора, Da, MM.









Средние значения фактора нагрева $\Delta t^o C$ асинхронных двигателей со степенью защиты IP44 и IP23 с охлаждением вентилятором на валу до 660V при внешнем диаметре статора Da, мм.

В зависимости от класса нагревостойкости используется поправка согласно таблице умножением на соответствующий коэффициент принятого значения $\Delta t^o C$.

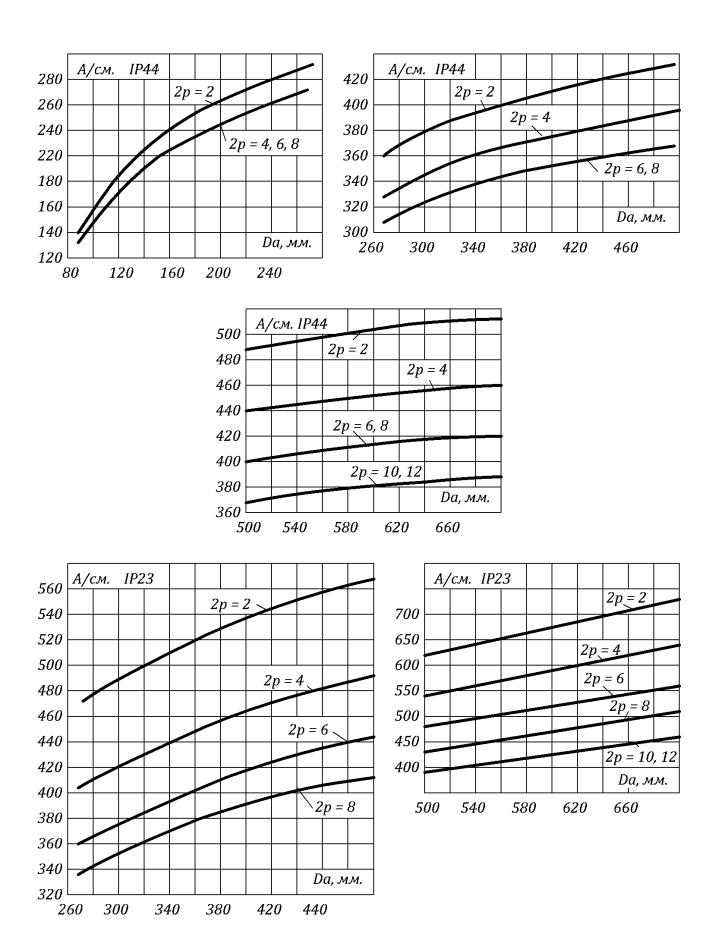
| prisone our province h | коэффициент поправки $\varDelta t^{o}\mathcal{C}$ при классе | | | | | |
|---------------------------------|--|------|------|--|--|--|
| высота оси вращения, <i>h</i> . | В | F | Н | | | |
| 50 – 132 мм. | 1,0 | 1,33 | 1,75 | | | |
| более 160 мм | 0,75 | 1,0 | 1,30 | | | |

Средние значения магнитной индукции в ярме статора (до 660V).

| _ | | Вс, Тл. | | |
|---------------------------------|------------|-------------|-------------|--|
| высота оси вращения, <i>h</i> . | 2 <i>p</i> | IP44 | IP23 | |
| | 2, 4 | 1,50 – 1,65 | _ | |
| 50 – 132 | 6 | 1,45 – 1,60 | _ | |
| | 8 | 1,20 – 1,35 | _ | |
| | 2, 4 | 1,45 - 1,60 | 1,55 – 1,70 | |
| 180 – 250 | 6 | 1,35 – 1,50 | 1,45 - 1,60 | |
| | 8 | 1,10 - 1,20 | 1,20 - 1,30 | |
| | 2, 4, 6 | 1,35 – 1,50 | 1,45 - 1,55 | |
| 280 – 355 | 8, 10 | 1,30 - 1,45 | 1,40 – 1,55 | |
| | 12 | 1,15 - 1,30 | 1,25 - 1,40 | |

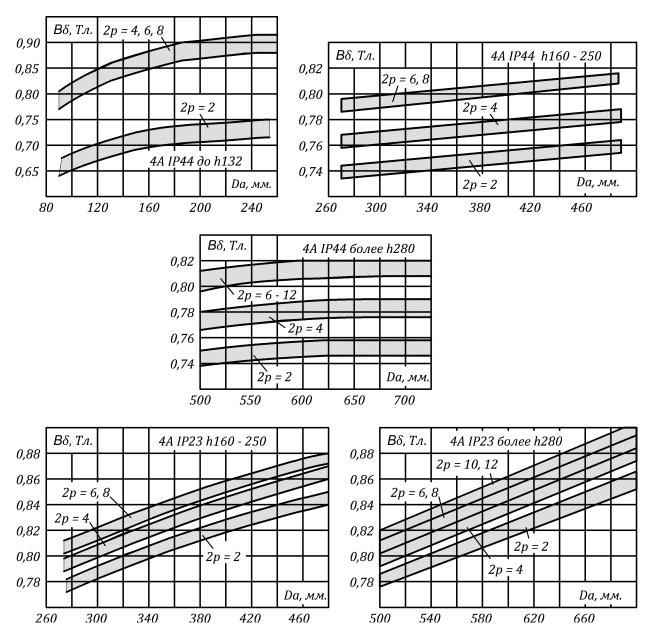
| | Di icoma ocu praviovija h | 25 | Bz, | Τл. |
|--------------------|---------------------------------|------------|-------------|-------------|
| Средние значения | высота оси вращения, <i>h</i> . | 2 <i>p</i> | IP44 | IP23 |
| магнитной индукции | 50 - 132 | 2, 4, 6 | 1,75 – 1,95 | _ |
| в зубцах статора | 50 - 152 | 8 | 1,70 – 1,90 | - |
| с параллельными | 160 – 250 | 2 | 1,75 – 1,95 | 1,90 - 2,10 |
| стенками паза. | 160 - 250 | 4, 6, 8 | 1,70 – 1,85 | 1,80 – 2,00 |
| | 280 – 315 | 10, 12 | 1,60 - 1,80 | 1,70 – 1,90 |

| Constant | высота оси | A 0 0 1 0 0 0 0 0 0 0 0 0 0 0 0 0 0 0 0 | 2 <i>p</i> | <i>Bz, Тл</i> . | |
|--|----------------------|---|------------|-----------------|-------------|
| Средние значения магнитной индукции в зубцах с полуоткрытыми и с открытыми пазами. | вращения, <i>h</i> . | h. форма паза | | IP44 | IP23 |
| | 280 – 355 | полуоткрытые | 2 | 1,75 – 1,96 | 1,90 – 2,10 |
| | | | 4 – 12 | 1,70 – 1,85 | 1,80 – 2,00 |
| | 400 – 500 | открытые | 4 – 12 | 1,60 - 1,80 | 1,70 – 1,90 |



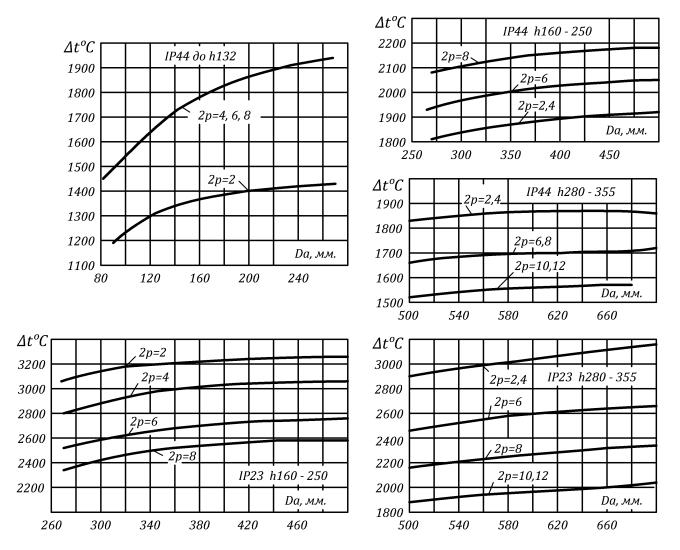
Средние значения линейной нагрузки *А/см*. в зависимости от внешнего диаметра, количества полюсов и степени защиты IP23 или IP44.

Копылов И. П. "Проектирование электрических машин" 1980 г.



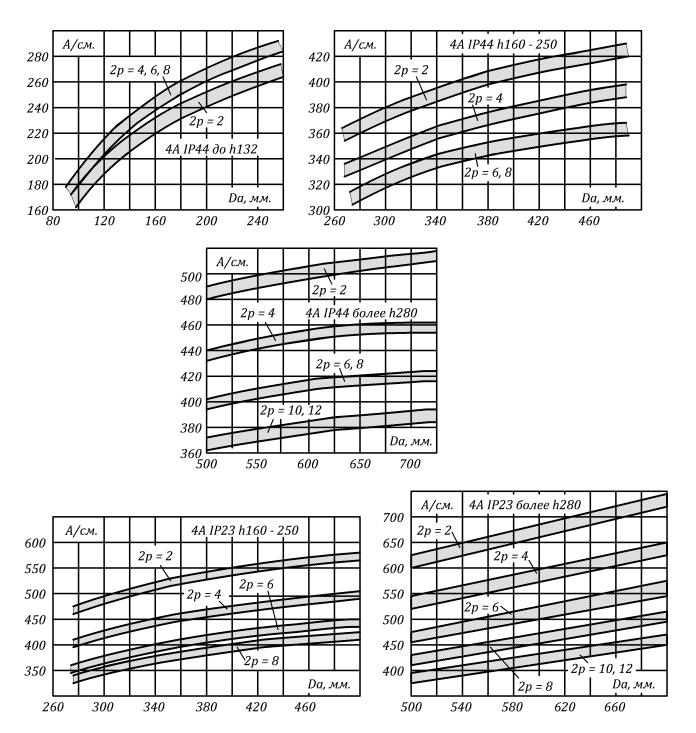
Средние магнитные нагрузки обдуваемых асинхронных электродвигателей серии 4A при внешнем диаметре статора, *мм*. (и высоте оси вращения) и количестве полюсов при IP44 и IP23.

Копылов И. П. "Проектирование электрических машин" 1980 г.



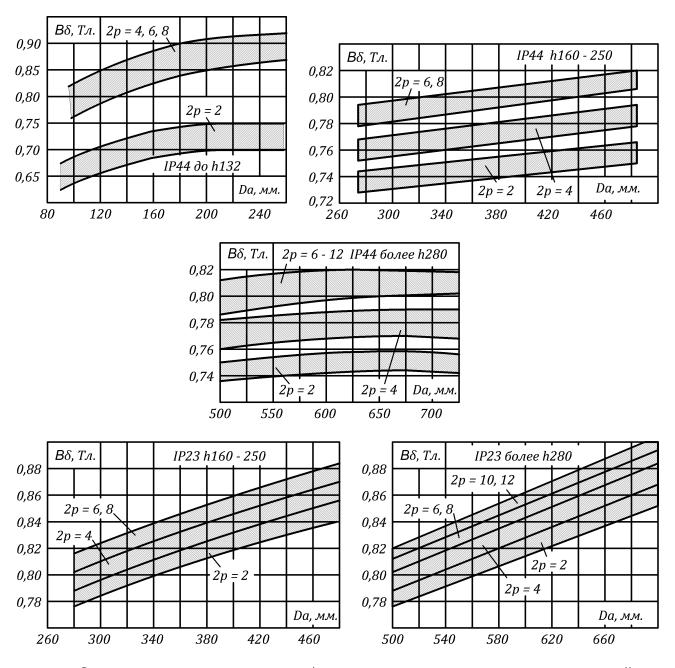
Средние значения фактора нагрева Δt °C асинхронных обдуваемых электродвигателей со степенью защиты IP44 и IP23 в зависимости от внешнего диаметра статора Da, MM.

Копылов И. П. "Проектирование электрических машин" 1980 г.

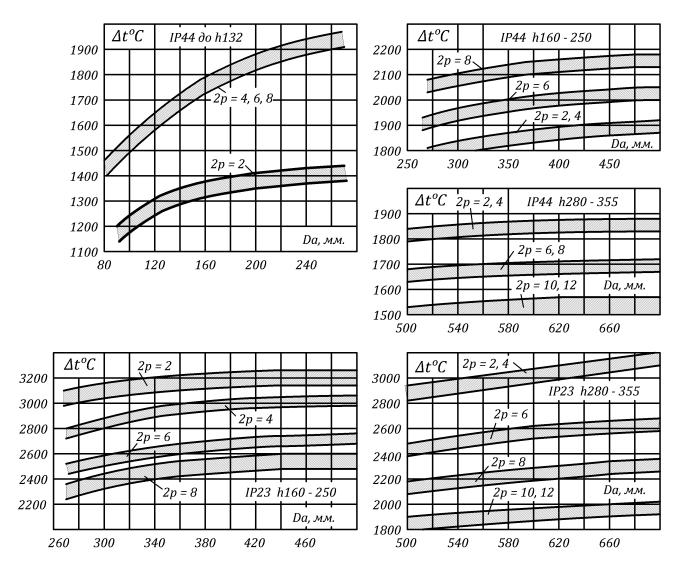


Средние значения линейной нагрузки *А/см*. асинхронных обдуваемых электродвигателей со степенью защиты IP44 и IP23 в зависимости от внешнего диаметра статора *Da, мм*.

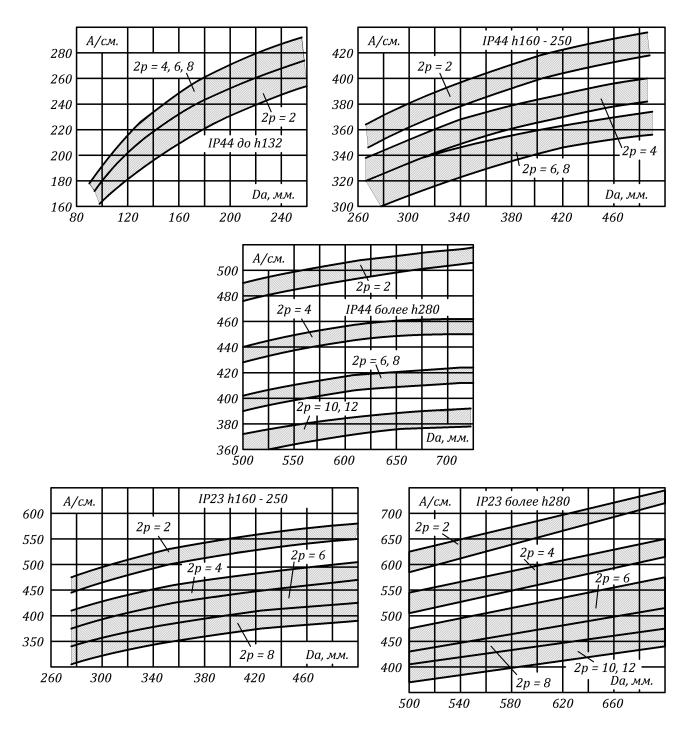
Копылов И. П. "Проектирование электрических машин" 2011 г.



Средние магнитные нагрузки обдуваемых асинхронных электродвигателей при внешнем диаметре статора, *Da*, *мм*. (и высоте оси вращения) и количестве полюсов при IP44 и IP23.

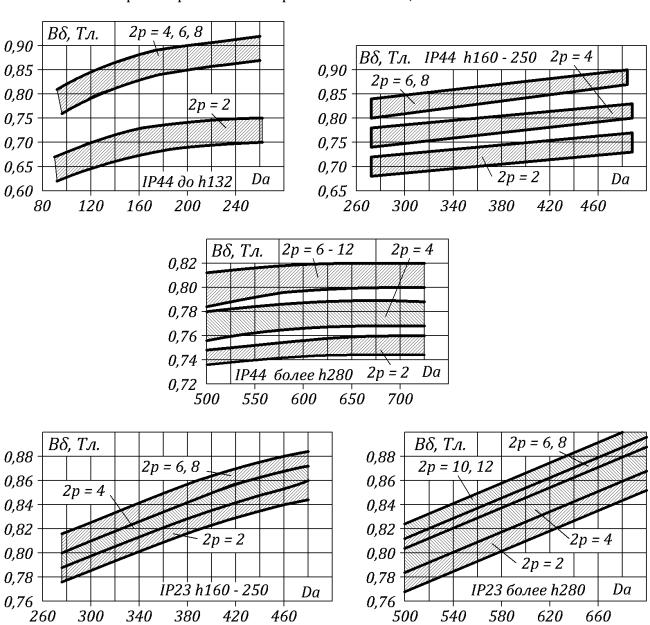


Средние значения фактора нагрева Δt °C асинхронных обдуваемых электродвигателей со степенью защиты IP44 и IP23 в зависимости от внешнего диаметра статора Da, MM.



Средние значения линейной нагрузки *А/см*. асинхронных обдуваемых электродвигателей со степенью защиты IP44 и IP23 в зависимости от внешнего диаметра статора *Da, мм*.

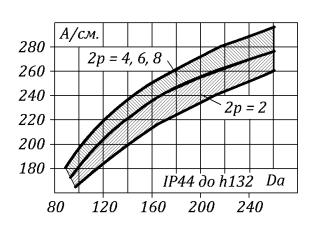
Копылов И. П. "Проектирование электрических машин", 2022 г.

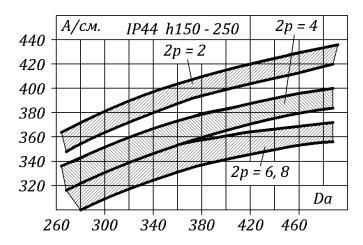


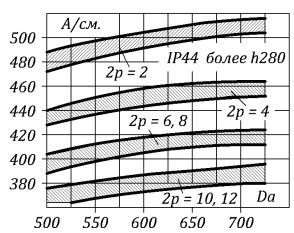
Средние магнитные нагрузки обдуваемых асинхронных электродвигателей при внешнем диаметре статора *Da, мм.* (и высоте оси вращения) и количестве полюсов при IP44 и IP23.

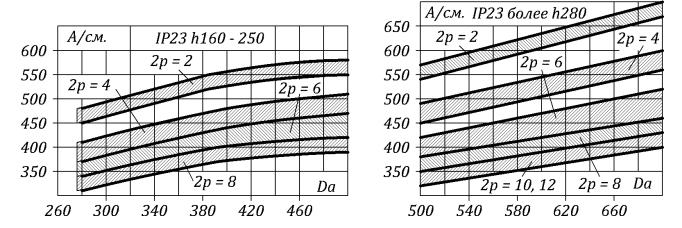
Допустимые значения индукции на участках магнитной цепи асинхронных электродвигателей.

| | 1 | | | | | | | | |
|---|--------------|-------|-------------|------------|-----------|------------|---------|----------|-----------|
| участок магнитной цепи | IP44 | | | IP23 | | | | | |
| при числе полюсов 2 <i>р</i> | 2 4 | 6 | 8 | 10 и 12 | 2 | 4 | 6 | 8 | 10 и 12 |
| ярмо статора, Вс, Тл. | 1,4 - 1,6 | 5 | 1,15 – 1,35 | 1,1 - 1,2 | 1,45 – 1 | 1,6 | 1,2 - 1 | 1,4 | 1,1 - 1,3 |
| зубцы статора при | их постоян | ном | сечении, об | мотка из | кругло | ОГО | прово, | да | |
| Вz, Тл. | 1, | 6 - 1 | ,9 | 1,6 - 1,8 | 1,8 – 2, | 05 | 1,7 - 1 | ,95 | 1,6 - 1,9 |
| зубцы | статора в на | аибо. | лее узком м | есте их с | ечения | | | | |
| полуоткрытые пазы <i>Вz, Тл</i> . | | 1,7 | 5 – 1,95 | | 1,9 - 2,1 | | 1 | ,8 – 2,0 | |
| открытые пазы <i>Вz, Тл.</i> | | 1, | 6 – 1,9 | | 1,7 - 2,0 | | | | |
| | | ярм | о ротора | | | | | | |
| короткозамкнутого, Вс, Тл. | 1,45 1,4 | 1,2 | 1,0 | | 1,55 1 | L,5 | 1,3 | | 1,1 |
| фазного, Вс, Тл. | 1,3 | 1,15 | 0,9 | | 1,4 | | 1,2 | | 1,0 |
| зубцы ротора при постоянном их сечении (трапецеидальные пазы) | | | | | | | | | |
| Вz, Тл | 1,7 - 1,95 | | | 1,75 – 2,0 | | | | | |
| зубцы ротора в наиболее узком месте их сечения | | | | | | | | | |
| короткозамкнутого, <i>Вz, Тл</i> . | 1,5 – 1,7 | | | 1,75 - | 2 | 1, | 7 – | 1,95 | |
| | 1,75 – 2,15 | | 1,7 - 1,9 | 5 | 1,9 – 2 | 2,2 | 1, | 85 - | - 2,1 |

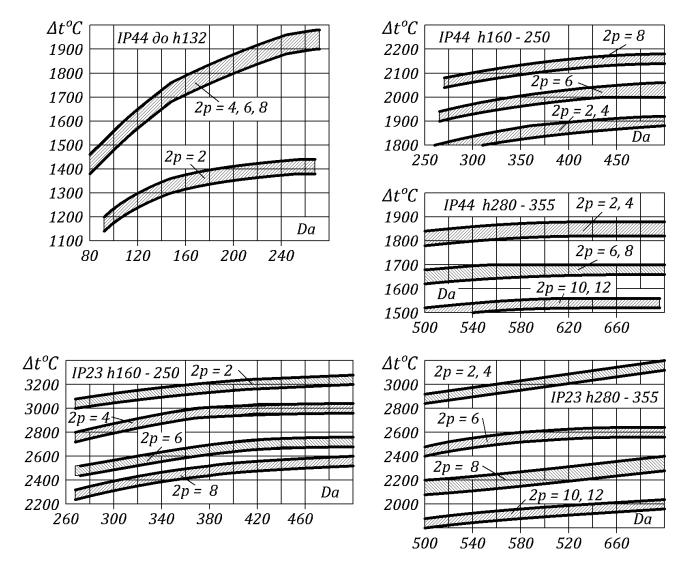






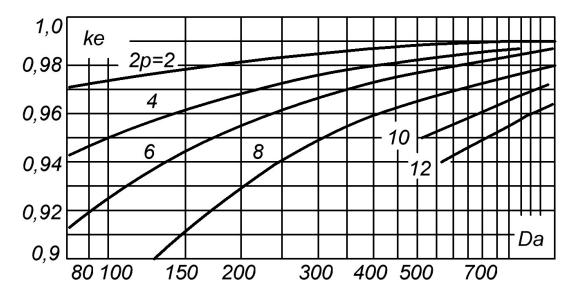


Средние значения линейной нагрузки *А/см*. асинхронных обдуваемых электродвигателей со степенью защиты IP44 и IP23 в зависимости от внешнего диаметра статора *Da, мм*.

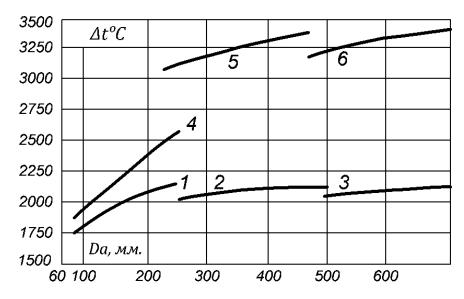


Средние значения фактора нагрева Δt °C асинхронных обдуваемых электродвигателей со степенью защиты IP44 и IP23 в зависимости от внешнего диаметра статора Da, MM.

Падение напряжения ke, в зависимости от внешнего диаметра статора и полюсности.



Голдберг О. Д. и др. "Проектирование электрических машин" 1984 г.



Средние допустимые значения $\Delta t^o C$ при классе нагревостойкости F и 2p=4 Da – внешний диаметр статора, MM.

При других классах нагревостойкости и количестве полюсов умножается на поправочный коэффициент в таблице.

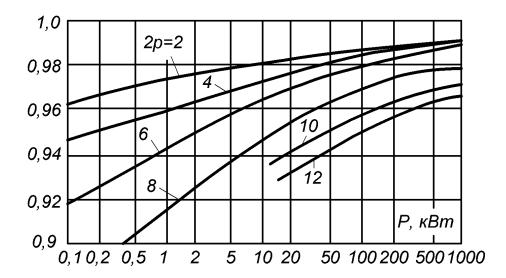
- 1 IP44, ICO141, пазы полузакрытые, однослойная обмотка.
- 2 IP44, ICO141, пазы полузакрытые, двухслойная обмотка.
- 3 IP44, ICO141, пазы полуоткрытые, двухслойная обмотка, продуваемый ротор.
- 4 IP23, IC01, пазы полузакрытые, однослойная обмотка.
- 5 IP23, IC01, пазы полузакрытые, двухслойная обмотка.
- 6 IP23, IC01, пазы полуоткрытые, двухслойная обмотка.

Способы охлаждения:

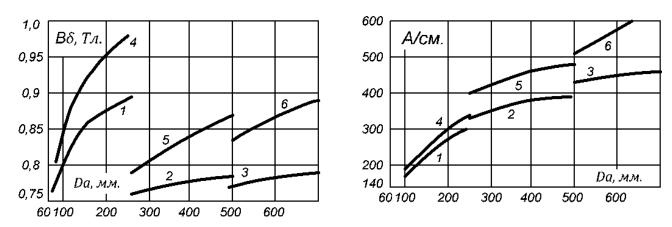
IC0141 – закрытая машина, обдуваемая наружным вентилятором, вентилятор расположен на валу машины.

IC01 – защищенная машина с самовентиляцией, вентилятор расположен на валу машины.

| степень | Da ww | коэффи | коэффициент для Δt° С различных $2p$ | | коэффициент для изоляции | | |
|---------|-----------|--------|---|------|--------------------------|---|------|
| зашиты | Da, мм. | 2 | 6 | 8 | 10 и 12 | В | 0,75 |
| | 80 – 240 | 0,78 | 1,0 | 1,0 | _ | Н | 1,3 |
| IP44 | 280 - 500 | 1,0 | 1,0 | 1,0 | _ | | |
| | 520 - 660 | 1,0 | 0,87 | 0,87 | 0,84 | | |
| IP23 | 280 - 500 | 1,07 | 0,89 | 0,84 | _ | | |
| IPZ3 | 520 - 660 | 1,0 | 0,89 | 0,75 | 0,66 | | |



Падение напряжения ке в зависимости от мощности и количества полюсов.



Средние значения $B\delta$, A/c M. при 2p=4 и классе нагревостойкости F, Da – внешний диаметр, MM.

- 1 IP44, IC014I, полузакрытые пазы однослойная обмотка.
- 2 IP44, IC014I, полузакрытые пазы двухслойная обмотка.
- 3 IP44, IC0141, полузакрытые пазы, двухслойная обмотка, продуваемый ротор.
- 4 IP23, IC01, полузакрытые пазы, однослойная обмотка.
- 5 IP23, IC01, полузакрытые пазы, двухслойная обмотка.
- 6 IP23, IC01, полуоткрытые пазы, двухслойная обмотка.

Приведены средние значения A/cм. и $B\delta$ для асинхронных двигателей с короткозамкнутым и фазным роторами при 2p=4 и с изоляцией класса нагревостойкости F. При количестве полюсов, отличающихся от 2p=4, принимаемые значения A/cm. и $B\delta$ умножают на поправочные коэффициенты из таблицы. Кроме того, при выполнении электродвигателей с изоляцией классов нагревостойкости B или H значение принятое A/cm. по рисунку, должно быть умножено на поправочный коэффициент: для класса B-0,86; для класса H-1,14.

| I/oo h h ····· | Степень защиты, | Da ww | Коэффициенты при различных значениях 2 | | | | |
|----------------|-----------------|-----------|--|-------|-------|---------|--|
| Коэффициент | охлаждения | Da, мм. | 2 | 6 | 8 | 10 и 12 | |
| | | 80 – 250 | 1,0 | 1,0 | 1,02 | _ | |
| and DS | IP44 IC0141 | 250 – 500 | 0,96 | 1,04 | 1,04 | 1,04 | |
| для $B\delta$ | | 500 – 700 | _ | 0,96 | 0,94 | 0,92 | |
| | IP23 IC01 | 250 – 700 | 0,98 | 1,02 | 1,02 | 1,04 | |
| | IP44 IC0141 | 80 – 250 | 0,93 | 1,0 | 1,0 | _ | |
| | | 250 – 500 | 1,1 | 0,93 | 0,93 | _ | |
| для А/см. | | 500 – 700 | 1,1 | 0,915 | 0,915 | 0,84 | |
| | ID22 IC01 | 250 – 500 | 1,16 | 0,9 | 0,84 | 0,72 | |
| | IP23 IC01 | 500 – 700 | 1,15 | 0,89 | 0,84 | 0,72 | |

Индукция в зубцах статора. При расчетах не должна отличаться более чем на 10%.

| форма паза 2р | 2 m | $Bz_{ m MAX}$ для двигателей со степенью защиты | | |
|---------------|--------|---|-----------|--|
| | zp | IP44 | IP23 | |
| полуоткрытая | 2 | 1,75 – 1,95 | 1,9 – 2,1 | |
| | 4 – 12 | 1,6 - 1,8 | 1,7 – 1,9 | |
| 0.000 | 2 | 1,7 – 1,9 | 1,8 - 2,0 | |
| открытая | 4 – 12 | 1,6 - 1,8 | 1,7 – 1,9 | |

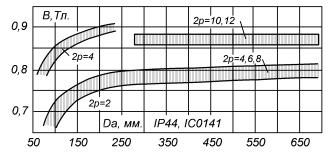
Приложение. (Голдберг)

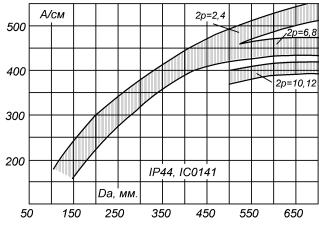
Средние значения электромагнитных нагрузок для асинхронных двигателей.

| h, мм. | 2 <i>p</i> | Вс, Тл. |
|-----------|------------|-------------|
| | 2, 4 | 1,55 – 1,75 |
| 50 – 250 | 6 | 1,4 - 1,6 |
| | 8 | 1,1 - 1,3 |
| 200 255 | 2, 4, 6, 8 | 1,45 - 1,65 |
| 280 – 355 | 10, 12 | 1,2 - 1,4 |
| 400 - 450 | 4, 6, 8 | 1,3 – 1,5 |
| 400 - 450 | 10, 12 | 1,1 - 1,3 |

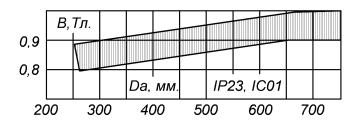
| h 1414 | 2 m | <i>Bz, Тл.</i> | | | |
|---------------|------------|----------------|-----------|--|--|
| <i>h, мм.</i> | 2 <i>p</i> | IP44 | IP23 | | |
| 50 - 132 | 2, 4, 6, 8 | 1,75 – 1,95 | 1,8 – 2,0 | | |
| 160 – 250 | 2 | 1,75 – 1,95 | 1,9 – 2,1 | | |
| | 4, 6, 8 | 1,6 - 1,8 | 1,7 – 1,9 | | |
| 280 – 315 | 10, 12 | 1,6 - 1,8 | 1,7 - 1,9 | | |

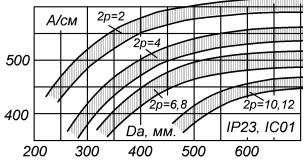
Кацман М. М. "Расчет и конструирование электрических машин" 1984 г.





Рекомендуемые значения максимальной индукции в воздушном зазоре $B\delta$ и линейной нагрузки A/cм. для асинхронных двигателей общего назначения IP44, IC0141.

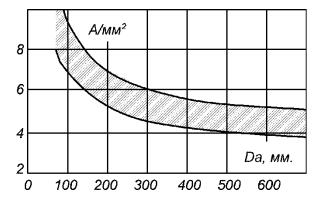




Рекомендуемые значения максимальной индукции в воздушном зазоре $B\delta$ и линейной нагрузки A/cм. для асинхронных двигателей общего назначения IP23, IC01.

Принятые предварительно значения индукции и линейной нагрузки следует умножить на коэффициент в таблице в зависимости от класса нагревостойкости.

| | высота оси | коэффициент уточнения для Вδ и А/см. | | | |
|-------------------|------------|--------------------------------------|------|------|--|
| таблица для | вращения | В | F | Н | |
| индукции и | 50 - 132 | 1,0 | 1,15 | 1,32 | |
| линейной нагрузки | 160 – 355 | 0,87 | 1,0 | 1,15 | |



Рекомендуемые значения плотности тока в обмотке асинхронных трехфазных двигателей исполнения IP44, при способе охлаждения IC0141. Для IP23 и IC01 значения следует увеличить на 25% при 2p = 2 и на 20% при 2p > 2.

В зависимости от класса изоляции значение следует умножить на коэффициент согласно таблицы.

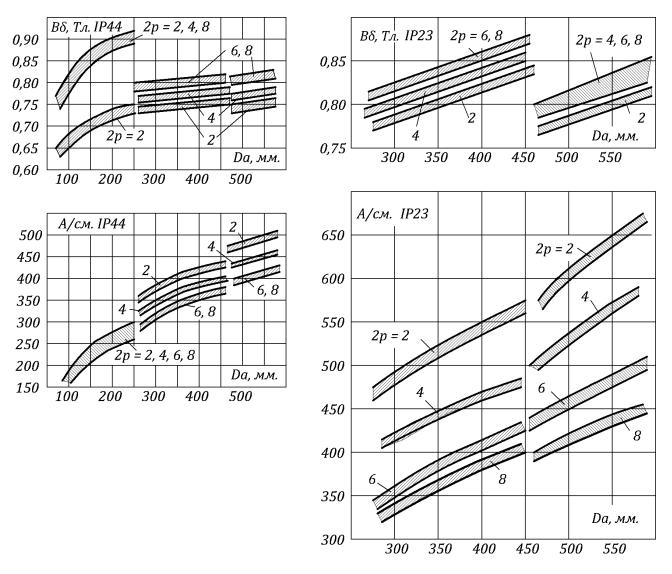
| к рисунку плотности тока | высота оси | коэффициент уточнения <i>А/мм</i> ² при классе нагрева | | | |
|-----------------------------|------------|--|------|------|--|
| | вращения | В | F | Н | |
| | 50 - 132 | 1,0 | 1,33 | 1,75 | |
| | 160 - 355 | 0,75 | 1,0 | 1,30 | |

Василенко А. А. Ремонт электрооборудования, учебное пособие. 2019 г.

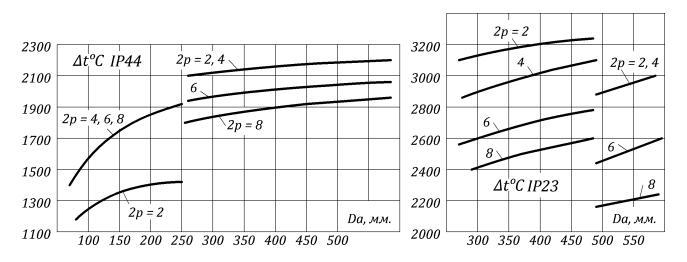
| иисп | о полюсов | | | | 31 | начен | ие инд | дукци | й в зу | бцах Е | 3z | | | |
|------|-------------|------|------|------|--------------|-------|--------|--------|--------|--------|-------|-------|------|------|
| ЧИСЛ | о полюсов | | | и яр | ме <i>Вс</i> | стато | ра при | и высс | те ось | и врац | цения | , мм. | | |
| | 2 <i>p</i> | 56 | 63 | 71 | 80 | 90 | 100 | 112 | 132 | 160 | 180 | 200 | 225 | 250 |
| 2 | Bz | 1,80 | 1,70 | 1,80 | 1,85 | 1,95 | 1,95 | 2,05 | 1,85 | 1,95 | 1,95 | 2,00 | 1,75 | 1,90 |
| | Вс | 1,40 | 1,40 | 1,50 | 1,70 | 1,60 | 1,60 | 1,70 | 1,65 | 1,55 | 1,55 | 1,70 | 1,40 | 1,45 |
| 4 | Bz | 1,80 | 1,80 | 1,95 | 1,95 | 1,95 | 1,80 | 1,90 | 1,85 | 1,90 | 1,90 | 1,90 | 1,80 | 1,75 |
| 4 | Вс | 1,60 | 1,55 | 1,60 | 1,60 | 1,60 | 1,60 | 1,60 | 1,65 | 1,70 | 1,60 | 1,60 | 1,50 | 1,55 |
| 6 | Bz | - | 1,80 | 1,90 | 1,80 | 1,80 | 1,75 | 1,95 | 1,90 | 1,65 | 1,70 | 1,80 | 1,85 | 1,75 |
| 6 | Вс | - | 1,45 | 1,60 | 1,55 | 1,50 | 1,40 | 1,55 | 1,50 | 1,45 | 1,65 | 1,45 | 1,55 | 1,45 |
| 0 | 8 <i>Bz</i> | | _ | 1,90 | 1,70 | 1,75 | 1,75 | 1,85 | 1,90 | 1,80 | 1,80 | 1,90 | 2,00 | 1,95 |
| 0 | Вс | _ | _ | 1,15 | 1,10 | 1,10 | 1,10 | 1,40 | 1,30 | 1,25 | 1,30 | 1,20 | 1,30 | 1,15 |

Ориентировочные значения индукций в сердечниках статоров электродвигателей серии 4А.

Бородулин Ю. Б. Автоматизированное проектирование электрических машин., 1989.

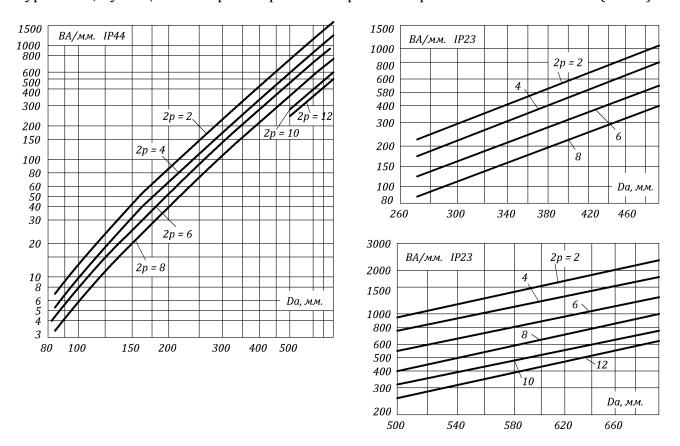


Значения линейной нагрузки A/cм. и индукции $B\delta$ в воздушном зазоре асинхронных электродвигателей серии 4A, IP44 и IP23 в зависимости от внешнего диаметра статора Da, мм. и количества полюсов.



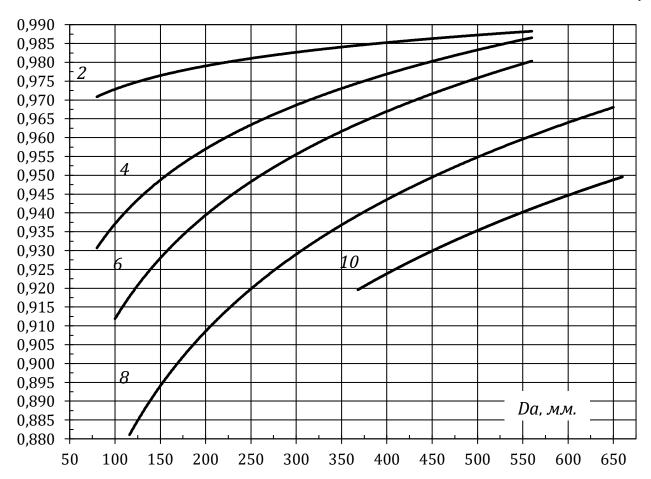
Средние значения фактора нагрева Δt °C асинхронных обдуваемых электродвигателей серии 4A, IP44 и IP23 в зависимости от внешнего диаметра статора Da, MM.

Гурин Я. С., Кузнецов Б. И. Проектирование серий электрических машин. 1978 г. (171 с.)



Средняя зависимость мощности в BA (вольт × ампер) на миллиметр длины статора в зависимости от наружного диаметра, полюсности и защищенности IP44 или IP23. К определению мощности по размеру статора. Падение напряжения в зависимости от внешнего диаметра (Da, мм.) статора и количества полюсов. На основе данных 1466 электродвигателей по приведенной формуле, δ – воздушный зазор, мм., τ – длина полюсного деления, мм., q – пазов на полюс и фазу.

$$ke = \frac{1}{1 + \frac{30 \times \delta}{\tau \times q}}$$



Кокорев А. С. "Справочник молодого обмотчика электрических машин" бе изд., 1985

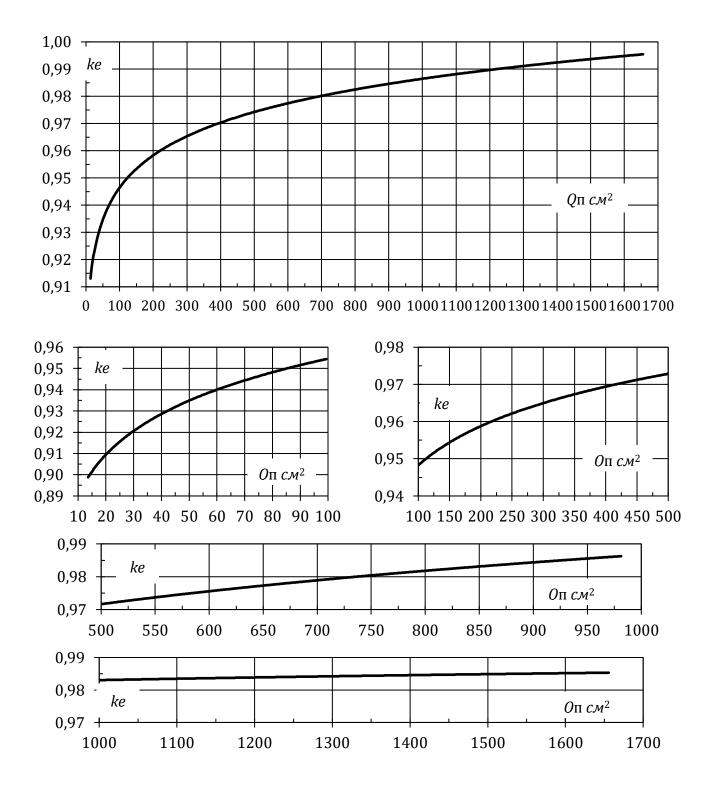
Значения коэффициента ке.

| 2 m | | | ke | при диам | етре <i>Da, л</i> | им. | | |
|------------|------|------|------|----------|-------------------|------|------|------|
| 2 <i>p</i> | 60 | 80 | 100 | 150 | 200 | 300 | 400 | 500 |
| 2 | 0,97 | 0,97 | 0,97 | 0,98 | 0,98 | 0,98 | 0,99 | 0,99 |
| 4 | 0,94 | 0,94 | 0,95 | 0,96 | 0,97 | 0,98 | 0,98 | 0,98 |
| 6 | 0,91 | 0,92 | 0,93 | 0,95 | 0,96 | 0,97 | 0,97 | 0,98 |
| 8 | _ | _ | _ | 0,91 | 0,93 | 0,95 | 0,96 | 0,97 |
| 10 | _ | - | - | - | 0,89 | 0,92 | 0,94 | 0,95 |
| 12 | - | - | - | - | - | 0,90 | 0,92 | 0,93 |

Падение напряжения ke в зависимости от nлощаdu nолюса Q π в cm 2 .

$$Q\Pi = \frac{\pi \times Di \times L}{2p} \quad \text{cm}^2$$

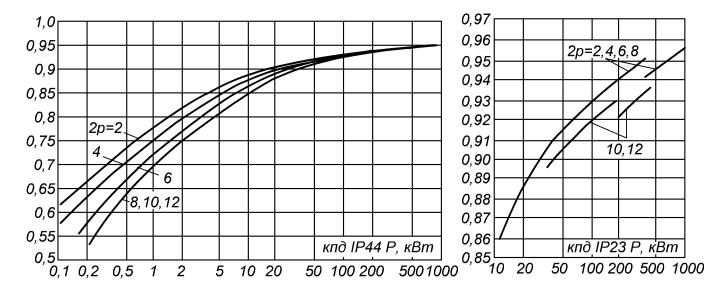
где π – число "пи", Di – диаметр внутренний статора, в cм., 2p – количество полюсов, L – длина статора в cm. на основе данных 1466 электродвигателей по вышеприведенной формуле подсчета падения напряжения, общая таблица и раздельно уточнено при 10 – 100, 100 – 500, 500 – 1000 и более площади полюса в cm^2 .



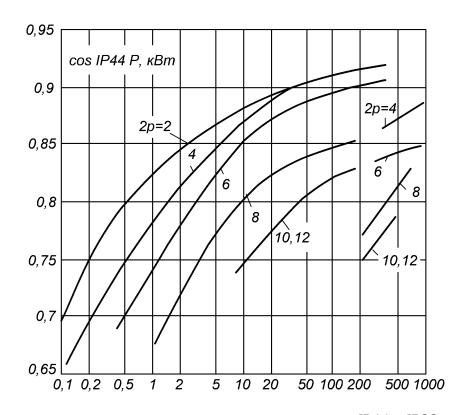
Соотношение внешнего диаметра к внутреннему статора при числе полюсов. Di/Dh или Dh/Di, то есть внутренний диаметр (Di) разделенный на внешний диаметр (Dh) и наоборот, внешний диаметр разделенный на внутренний диаметр. Данные исчислены по доступным данным серий асинхронных двигателей. Для приближенного нахождения количества полюсов неизвестного статора.

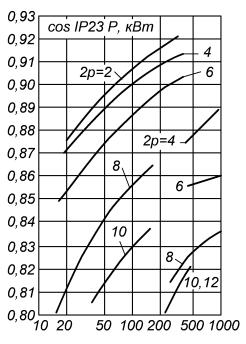
| | | | серия АО | 2 | | |
|-------|-------------|-------------|-------------|-------------|-------------|-----------|
| 2p | 2 | 4 | 6 | 8 | 10 | 12 |
| Di/Dн | 0,53 – 0,59 | 0,60 - 0,65 | 0,60 - 0,73 | 0,69 - 0,73 | 0,73 | _ |
| Dн/Di | 1,69 – 1,90 | 1,54 - 1,66 | 1,37 - 1,66 | 1,37 - 1,44 | 1,37 - 1,38 | _ |
| | | | серия 4 | A | | |
| Di/Dн | 0,51-0,58 | 0,57-0,68 | 0,65-0,73 | 0,66-0,75 | 0,75-0,79 | 0,76-0,79 |
| Dн/Di | 1,73-1,98 | 1,47-1,76 | 1,38-1,54 | 1,34-1,53 | 1,27-1,34 | 1,27-1,31 |
| | | | серия АИ | P | | |
| Di/Dн | 0,53-0,57 | 0,6-0,65 | 0,67-0,72 | 0,68-0,72 | ı | _ |
| Dн/Di | 1,77-1,93 | 1,52-1,66 | 1,39-1,49 | 1,39-1,51 | - | _ |
| | | | серия РА | A | | |
| Di/Dн | 0,52-0,57 | 0,58-0,64 | 0,58-0,71 | - | - | _ |
| Dн/Di | 1,76-1,94 | 1,56-1,71 | 1,42-1,71 | - | - | _ |
| | | | серия Ү (Ки | тай) | | |
| Di/Dн | 0,54 - 0,58 | 0,62 - 0,67 | 0,66 - 0,73 | 0,69 – 0,75 | | _ |
| Dн/Di | 1,73 – 1,85 | 1,48 - 1,63 | 1,37 – 1,51 | 1,33 - 1,44 | | |

| коэффициент заполне | ния сталью сердечника | а статора, <i>kc</i> |
|------------------------|-----------------------|----------------------|
| при толщине стали, мм. | оксидированных | лакированных |
| 0,15 | 0,84 | 0,81 |
| 0,2 | 0,91 | 0,88 |
| 0,25 | 0,92 | 0,88 |
| 0,28 | 0,92 | 0,88 |
| 0,30 | 0,92 | 0,89 |
| 0,35 | 0,93 | 0,91 |
| 0,5 | 0,95 | 0,93 |
| 0,7 | 0,98 | 0,96 |
| 1,0 | 0,98 | 0,97 |



Коэффициент полезного действия для IP44 и IP23.





соѕф для IP44 и IP23.

Двигатели старых серий типа А, АО.

| D scom | 2 <i>p</i> | = 2 | 2 <i>p</i> | = 4 | 2 <i>p</i> | = 6 | 2 <i>p</i> | = 8 |
|--------|--------------|-------|--------------|-------|------------|-------|--------------|-------|
| Р, квт | кпд <i>η</i> | cos φ | кпд <i>η</i> | cos φ | кпд η | cos φ | кпд <i>η</i> | cos φ |
| 0,3 | 0,63 | 0,77 | 0,63 | 0,7 | - | ı | - | - |
| 0,4 | 0,67 | 0,795 | 0,67 | 0,72 | _ | _ | _ | _ |
| 0,5 | 0,7 | 0,81 | 0,7 | 0,735 | - | ı | - | - |
| 0,6 | 0,72 | 0,82 | 0,72 | 0,745 | - | ı | - | - |
| 0,8 | 0,74 | 0,835 | 0,74 | 0,76 | - | ı | - | - |
| 1 | 0,76 | 0,84 | 0,76 | 0,77 | 0,72 | 0,67 | - | _ |
| 1,5 | 0,79 | 0,855 | 0,79 | 0,79 | 0,75 | 0,705 | _ | _ |
| 2 | 8,0 | 0,86 | 8,0 | 0,805 | 0,77 | 0,73 | - | - |
| 3 | 0,82 | 0,87 | 0,82 | 0,82 | 0,80 | 0,75 | _ | _ |
| 4 | 0,83 | 0,875 | 0,83 | 0,83 | 0,81 | 0,77 | 0,78 | 0,69 |
| 5 | 0,84 | 0,88 | 0,84 | 0,84 | 0,82 | 0,78 | 0,8 | 0,715 |
| 6 | 0,85 | 0,88 | 0,85 | 0,845 | 0,83 | 0,79 | 0,81 | 0,73 |
| 8 | 0,85 | 0,885 | 0,85 | 0,85 | 0,84 | 8,0 | 0,82 | 0,76 |
| 10 | 0,86 | 0,89 | 0,86 | 0,86 | 0,85 | 0,81 | 0,83 | 0,77 |
| 15 | 0,87 | 0,89 | 0,87 | 0,87 | 0,86 | 0 82 | 0,85 | 0,795 |
| 20 | 0,88 | 0,895 | 0,88 | 0,87 | 0,87 | 0,83 | 0,86 | 0,81 |
| 30 | 0,88 | 0,9 | 0,88 | 0,88 | 0,88 | 0,84 | 0,87 | 0,82 |
| 40 | 0,89 | 0,9 | 0,89 | 0,88 | 0,88 | 0,859 | 0,88 | 0,83 |
| 50 | 0,89 | 0,9 | 0,89 | 0,885 | 0,89 | 0,85 | 0,88 | 0,835 |
| 60 | 0,9 | 0,905 | 0,9 | 0,885 | 0,89 | 0,855 | 0,89 | 0,84 |
| 80 | 0,9 | 0,91 | 0,9 | 0,89 | 0,9 | 0,86 | 0,89 | 0,845 |
| 100 | 0,91 | 0,91 | 0,91 | 0,89 | 0,9 | 0,86 | 0,9 | 0,85 |

Рекомендуемые числа пазов роторов асинхронных двигателей с короткозамкнутым ротором.

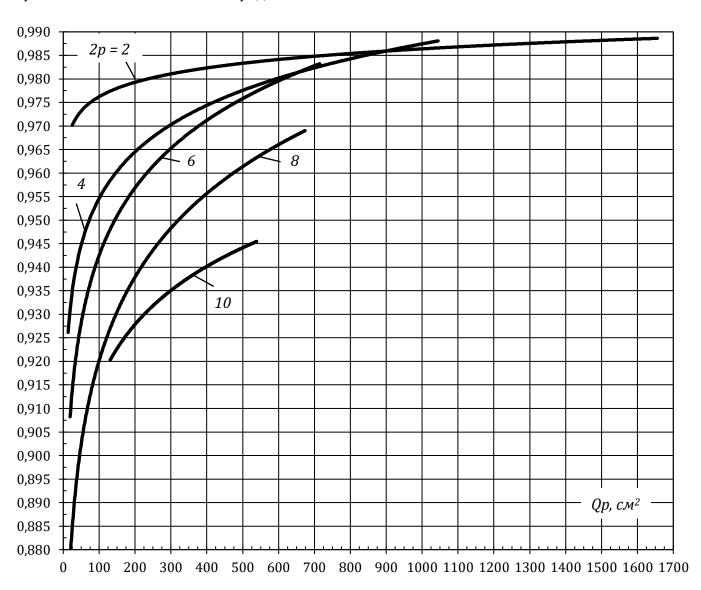
| | 7 | число пазов ј | ротора Z_2 |
|------------|---------|--|--|
| 2 <i>p</i> | $ Z_1 $ | без скоса пазов | со скосом пазов |
| | 12 | 9*, 15* | _ |
| | 18 | 11*, 12*, 15*, 21*, 22 | 14*, (18), 19*, 22*, 26, 28*, (30), 31, 33, 34, 35 |
| 2 | 24 | 15*, (16)*, 17*, 19, 32 | 18, 20, 26, 31, 33, 34, 35 |
| | 30 | 22, 38 | (18), 20, 21, 23, 24, 37, 39, 40 |
| | 36 | 26, 28, 44, 46 | 25, 27, 29, 43, 45, 47 |
| | 42 | 32, 33, 34, 50, 52 | - |
| | 48 | | 37, 39, 41, 55, 57, 59 |
| | 12 | 9* | 15* |
| | 18 | 10*, 14* | 18*, 22* |
| | 24 | 15*, 16*, 17, (32) | 16, 18, (20), 30, 33, 34, 35,36 |
| 1 | 36 | 26, 44, 46 | (24), 27, 28, 30, (32), 34, 45, 48 |
| 4 | 42 | (34), (50), 52, 54 | (33), 34, (38), (51), 53 |
| | 48 | 34, 38, 56, 58, 62, 64 | (36), (38), (39), 40, (44), 57, 59 |
| | 60 | 50, 52, 68, 70, 74 | 48, 49, 51, 56, 64, 69, 71 |
| | 72 | 62, 64, 80, 82, 86 | 61, 63, 68, 76, 81, 83 |
| | 36 | 26, 46, (48) | 28*, 33, 47, 49, 50 |
| | 54 | 44, 50, 64, 66, 68 | 42, 43, 51, 65, 67 |
| 6 | 72 | 56, 58, 62, 82, 84, 86, 88 | 57, 59, 60, 61, 83, 85, 87, 90 |
| | 90 | 74, 76, 78, 80 100, 102, 104 | 75, 77, 79, 101, 103, 105 |
| | 48 | (34), 36, 44, 62, 64 | 35, 44, 61, 63, 65 |
| 0 | 72 | 56, 58, 86, 88, 90 | 56, 57, 59, 85, 87, 89 |
| 8 | 84 | 66, (68), 70, 98, 100,102, 104 | (68), (69), (71), (97), (99), (101) |
| | 96 | 78, 82, 110, 112, 114 | 79, 80, 81, 83, 109, 111, 113 |
| | 60 | 44, 46, 74, 76 | 57, 69, 77, 78, 79 |
| 10 | 90 | 68, 72, 74, 76, 104, 106, 108, 110, 112, 114 | 70,71,73, 87, 93, 107, 109 |
| 10 | 120 | 86, 88, 92, 94, 96, 98, 102, 104, 106, 134, 136, 138, 140, 142, 146 | 99, 101, 103, 117, 123,137, 139 |
| | 72 | 56, 64, 80, 88 | 69, 75, 80, 89, 91, 92 |
| | 90 | 68, 70, 74, 88, 98, 106, 108, 110 | (71), (73), 86, 87, 93, 94, (107), (109) |
| 12 | 108 | 86, 88, 92, 100, 116, 124, 128, 130, 132 | 84, 89, 91, 104, 105, 111, 112, 125, 127 |
| | 144 | 124, 128, 136, 152, 160, 164, 166, 168, 170, 172 | 125, 127, 141, 147, 161, 163 |
| | 84 | 74, 94, 102, 104, 106 | 75, 77, 79, 89, 91, 93, 103 |
| 14 | 126 | 106, 108, 116, 136, 144, 146, 148, 150, 152, 154, 158 | 107, 117, 119, 121, 131, 133, 135, 145 |
| | 96 | 84, 86, 106, 108, 116, 118, | 90, 102 |
| 16 | 144 | 120, 122, 124, 132, 134, 154, 156, 164, 166, 168, 170, 172 | 138, 150 |

Примечания: 1. В скобках указаны числа пазов, при которых возможно повышение вибрации двигателей. 2. Звездочкой отмечены числа пазов, применяемые, в основном в машинах малой мощности.

Коэффициент падения напряжения *ke*, в зависимости от внешнего диаметра статора и количества полюсов.

| 2.0 | | | ке при в | внешнем , | диаметре | <i>Da,</i> м <i>м</i> . | | |
|------------|------|------|----------|-----------|----------|-------------------------|------|------|
| 2 <i>p</i> | 60 | 80 | 100 | 150 | 200 | 300 | 400 | 500 |
| 2 | 0,97 | 0,97 | 0,97 | 0,98 | 0,98 | 0,98 | 0,99 | 0,99 |
| 4 | 0,94 | 0,94 | 0,95 | 0,96 | 0,97 | 0,98 | 0,98 | 0,98 |
| 6 | 0,91 | 0,92 | 0,93 | 0,95 | 0,96 | 0,97 | 0,97 | 0,98 |
| 8 | _ | - | - | 0,91 | 0,93 | 0,95 | 0,96 | 0,97 |
| 10 | _ | _ | _ | _ | 0,89 | 0,92 | 0,94 | 0,95 |
| 12 | _ | _ | _ | _ | _ | 0,90 | 0,92 | 0,93 |

Относительное падение напряжения в зависимости от площади полюса в $c m^2$ при количестве полюсов электродвигателя.



Справочные данные двигателей серии 4А (до 100 кВт)

Последняя цифра в обозначении двигателя – количество полюсов. P – мощность на валу, в Kem., $B\delta$, TA – магнитная индукция в воздушном зазоре. A/cM – линейная нагрузка. A/MM^2 – плотность тока в обмотке. $\Delta t^{\circ}C$ – коэффициент перегрева (фактор нагрева). Линейная нагрузка определяется отношением тока всех витков обмотки к длине окружности. Ее значение показывает, какой ток приходится в среднем на единицу длины внутренней окружности машины (ампер на cM. длины, A/cM.). 4A – исполнение IP44, 4AH – исполнение IP23, 4AC (IP44) – повышенное скольжение, 4AP (IP44) – повышенный пусковой момент.

| | | | | | | | IP44 | 2p = 2 | | | | | | | |
|---------|------|------|------|------|------|----------|------|---------|------|------|------|------|------|----------|---------------------|
| mun | P | кпд | cosφ | Βδ | А/см | $A/мм^2$ | Δt°C | mun | P | кпд | cosφ | Βδ | А/см | $A/мм^2$ | $\Delta t^{\circ}C$ |
| 4A50A2 | 0,09 | 0,60 | 0,70 | 0,62 | 105 | 4,4 | 462 | 4A112M2 | 7,5 | 0,87 | 0,88 | 0,7 | 252 | 5,7 | 1436 |
| 4A50B2 | 0,12 | 0,63 | 0,70 | 0,6 | 114 | 4,1 | 467 | 4A132M2 | 11 | 0,88 | 0,90 | 0,71 | 248 | 5,9 | 1463 |
| 4A56A2 | 0,18 | 0,66 | 0,76 | 0,67 | 118 | 6,8 | 802 | 4A160S2 | 15 | 0,88 | 0,91 | 0,72 | 335 | 6,3 | 2111 |
| 4A56B2 | 0,25 | 0,68 | 0,77 | 0,66 | 133 | 6,8 | 904 | 4A160M2 | 18,5 | 0,88 | 0,92 | 0,7 | 355 | 6,5 | 2308 |
| 4A63A2 | 0,37 | 0,70 | 0,86 | 0,66 | 150 | 7,4 | 1110 | 4A180S2 | 22 | 0,88 | 0,91 | 0,78 | 387 | 5,6 | 2167 |
| 4A63B2 | 0,55 | 0,73 | 0,86 | 0,7 | 174 | 8 | 1392 | 4A180M2 | 30 | 0,90 | 0,90 | 0,79 | 365 | 5,2 | 1898 |
| 4A71A2 | 0,75 | 0,77 | 0,87 | 0,67 | 168 | 7,3 | 1226 | 4A200M2 | 37 | 0,90 | 0,89 | 0,82 | 403 | 4,8 | 1934 |
| 4A71B2 | 1,1 | 0,77 | 0,87 | 0,72 | 200 | 8,5 | 1700 | 4A200L2 | 45 | 0,91 | 0,90 | 0,79 | 407 | 4,9 | 1994 |
| 4A80A2 | 1,5 | 0,81 | 0,85 | 0,72 | 194 | 6,1 | 1183 | 4A225M2 | 55 | 0,91 | 0,92 | 0,74 | 406 | 5 | 2030 |
| 4A80B2 | 2,2 | 0,83 | 0,87 | 0,73 | 218 | 6,5 | 1417 | 4A250S2 | 75 | 0,91 | 0,89 | 0,77 | 409 | 4,4 | 1800 |
| 4A90L2 | 3 | 0,84 | 0,88 | 0,68 | 233 | 6,4 | 1491 | 4A250M2 | 90 | 0,92 | 0,90 | 0,75 | 419 | 4,6 | 1927 |
| 4A100S2 | 4 | 0,86 | 0,89 | 0,67 | 232 | 5,2 | 1206 | 4A280S2 | 110 | 0,91 | 0,89 | 0,79 | 457 | 3,3 | 1508 |
| 4A100L2 | 5,5 | 0,87 | 0,91 | 0,68 | 247 | 5,6 | 1383 | | | | | | | | |

| | | | | | | | IP44. | 2p = 4 | | | | | | | |
|---------|------|------|------|------|------|----------|---------------------|---------|------|------|------|------|------|----------|---------------------|
| mun | P | кпд | cos | Βδ | А/см | $A/мм^2$ | $\Delta t^{\circ}C$ | mun | P | кпд | cos | Вδ | А/см | $A/мм^2$ | $\Delta t^{\circ}C$ |
| 4A50A4 | 0,06 | 0,50 | 0,60 | 0,64 | 136 | 4,5 | 612 | 4A112M4 | 5,5 | 0,85 | 0,85 | 0,85 | 248 | 7,1 | 1761 |
| 4A50B4 | 0,09 | 0,55 | 0,60 | 0,68 | 152 | 4,9 | 745 | 4A132S4 | 7,5 | 0,87 | 0,86 | 0,9 | 252 | 5,9 | 1487 |
| 4A56A4 | 0,12 | 0,63 | 0,66 | 0,71 | 146 | 6,2 | 905 | 4A132M4 | 11 | 0,87 | 0,87 | 0,89 | 264 | 6,1 | 1610 |
| 4A56B4 | 0,18 | 0,64 | 0,64 | 0,75 | 167 | 6,9 | 1152 | 4A160S4 | 15 | 0,88 | 0,88 | 0,72 | 314 | 5,7 | 1790 |
| 4A63A4 | 0,25 | 0,68 | 0,65 | 0,82 | 162 | 6,8 | 1102 | 4A160M4 | 18,5 | 0,89 | 0,88 | 0,69 | 310 | 5,5 | 1705 |
| 4A63B4 | 0,37 | 0,68 | 0,69 | 0,87 | 189 | 8,4 | 1588 | 4A180S4 | 22 | 0,90 | 0,90 | 0,74 | 333 | 5,4 | 1798 |
| 4A71A4 | 0,55 | 0,70 | 0,70 | 0,93 | 188 | 6,9 | 1297 | 4A180M4 | 30 | 0,91 | 0,89 | 0,79 | 335 | 5,5 | 1843 |
| 4A71B4 | 0,75 | 0,72 | 0,73 | 0,97 | 225 | 8,5 | 1913 | 4A200M4 | 37 | 0,91 | 0,90 | 0,76 | 368 | 5,9 | 2171 |
| 4A80A4 | 1,1 | 0,75 | 0,81 | 0,84 | 218 | 7,6 | 1657 | 4A200L4 | 45 | 0,92 | 0,90 | 0,73 | 352 | 5,6 | 1971 |
| 4A80B4 | 1,5 | 0,77 | 0,83 | 0,82 | 231 | 8 | 1848 | 4A225M4 | 55 | 0,92 | 0,90 | 0,76 | 370 | 5,3 | 1961 |
| 4A90L4 | 2,2 | 0,80 | 0,83 | 0,88 | 233 | 7,6 | 1771 | 4A250S4 | 75 | 0,93 | 0,90 | 0,74 | 334 | 4,3 | 1436 |
| 4A100S4 | 3 | 0,82 | 0,83 | 0,9 | 246 | 6,6 | 1624 | 4A250M4 | 90 | 0,93 | 0,91 | 0,7 | 413 | 4,4 | 1817 |
| 4A100L4 | 4 | 0,84 | 0,84 | 0,87 | 254 | 6,3 | 1600 | 4A280S4 | 110 | 0,92 | 0,90 | 0,75 | 446 | 3,8 | 1695 |

| | | | | | | | P44 2 | <i>Pp =</i> 6 | | | | | | | |
|----------|------|------|------|------|------|----------|---------------------|---------------|------|------|------|------|------|----------|---------------------|
| mun | P | кпд | cos | Βδ | А/см | $A/мм^2$ | $\Delta t^{\circ}C$ | mun | P | кпд | cos | Βδ | А/см | $A/мм^2$ | $\Delta t^{\circ}C$ |
| 4A63A6 | 0,18 | 0,56 | 0,62 | 0,74 | 195 | 7,6 | 1482 | 4A160S6 | 11 | 0,87 | 0,87 | 0,75 | 293 | 6,9 | 2022 |
| 4A63B6 | 0,25 | 0,59 | 0,62 | 0,71 | 196 | 6,4 | 1254 | 4A160M6 | 15 | 0,88 | 0,87 | 0,74 | 292 | 6,9 | 2015 |
| 4A71A6 | 0,37 | 0,64 | 0,69 | 0,82 | 206 | 6 | 1236 | 4A180M6 | 18,5 | 0,88 | 0,87 | 0,82 | 377 | 6,3 | 2375 |
| 4A71B6 | 0,55 | 0,67 | 0,71 | 0,8 | 213 | 7,5 | 1598 | 4A200M6 | 22 | 0,90 | 0,90 | 0,7 | 350 | 5,5 | 1925 |
| 4A80A6 | 0,75 | 0,69 | 0,74 | 0,84 | 227 | 7,8 | 1771 | 4A200L6 | 30 | 0,90 | 0,90 | 0,77 | 375 | 6 | 2250 |
| 4A80B6 | 1,1 | 0,74 | 0,74 | 0,8 | 223 | 7,3 | 1628 | 4A225M6 | 37 | 0,91 | 0,89 | 0,78 | 369 | 5,7 | 2103 |
| 4A90L6 | 1,5 | 0,75 | 0,74 | 0,85 | 223 | 7,1 | 1583 | 4A250S6 | 45 | 0,91 | 0,89 | 0,76 | 356 | 5,1 | 1816 |
| 4A100L6 | 2,2 | 0,81 | 0,73 | 0,81 | 231 | 6,3 | 1455 | 4A250M6 | 55 | 0,92 | 0,89 | 0,82 | 364 | 5,5 | 2002 |
| 4A112MA6 | 3 | 0,81 | 0,76 | 0,89 | 248 | 6,9 | 1711 | 4A280S6 | 75 | 0,92 | 0,89 | 0,79 | 401 | 4,6 | 1845 |
| 4A112MB6 | 4 | 0,82 | 0,81 | 0,87 | 262 | 7,1 | 1860 | 4A280M6 | 90 | 0,92 | 0,89 | 0,81 | 393 | 5 | 1965 |
| 4A132S6 | 5,5 | 0,85 | 0,80 | 0,9 | 258 | 7 | 1806 | 4A315S6 | 110 | 0,93 | 0,90 | 0,81 | 391 | 4,7 | 1838 |
| 4A132M6 | 7,5 | 0,85 | 0,81 | 0,87 | 256 | 6,9 | 1766 | | | • | | • | • | • | |

| | | | | | |] | P44 2 | <i>p</i> = 8 | | | | | | | |
|----------|------|------|------|------|------|----------|---------------------|--------------|------|------|------|------|------|----------|---------------------|
| mun | P | кпд | cos | Βδ | А/см | $A/мм^2$ | $\Delta t^{\circ}C$ | mun | P | кпд | cos | Βδ | А/см | $A/мм^2$ | $\Delta t^{\circ}C$ |
| 4A71B8 | 0,25 | 0,56 | 0,65 | 0,9 | 211 | 7,2 | 1519 | 4A160M8 | 11 | 0,87 | 0,75 | 0,79 | 281 | 6,7 | 1883 |
| 4A80A8 | 0,37 | 0,61 | 0,65 | 0,71 | 201 | 6,8 | 1367 | 4A180M8 | 15 | 0,87 | 0,82 | 0,81 | 378 | 6,4 | 2419 |
| 4A80B8 | 0,55 | 0,64 | 0,65 | 0,75 | 210 | 7,3 | 1533 | 4A200M8 | 18,5 | 0,88 | 0,84 | 0,79 | 379 | 6,1 | 2312 |
| 4A90LA8 | 0,75 | 0,68 | 0,62 | 0,81 | 209 | 7 | 1463 | 4A200L8 | 22 | 0,88 | 0,84 | 0,75 | 404 | 6,7 | 2707 |
| 4A90LB8 | 1,1 | 0,70 | 0,68 | 0,81 | 225 | 7,3 | 1643 | 4A225M8 | 30 | 0,90 | 0,81 | 0,87 | 397 | 5,8 | 2303 |
| 4A100L8 | 1,5 | 0,74 | 0,65 | 0,87 | 248 | 6,4 | 1587 | 4A250S8 | 37 | 0,90 | 0,83 | 0,81 | 335 | 5,9 | 1977 |
| 4A112MA8 | 2,2 | 0,79 | 0,71 | 0,91 | 263 | 6,9 | 1815 | 4A250M8 | 45 | 0,91 | 0,84 | 0,83 | 382 | 5,4 | 2063 |
| 4A112MB8 | 3 | 0,79 | 0,74 | 0,88 | 271 | 6,7 | 1816 | 4A280S8 | 55 | 0,92 | 0,84 | 0,83 | 385 | 4,3 | 1656 |
| 4A132S8 | 4 | 0,83 | 0,70 | 0,96 | 257 | 6 | 1542 | 4A280M8 | 75 | 0,92 | 0,85 | 0,82 | 387 | 4 | 1548 |
| 4A132M8 | 5,5 | 0,80 | 0,74 | 0,88 | 263 | 7,1 | 1867 | 4A315S8 | 90 | 0,93 | 0,85 | 0,79 | 360 | 3,8 | 1368 |
| 4A160S8 | 7,5 | 0,86 | 0,75 | 0,78 | 274 | 6,3 | 1726 | 4A315M8 | 110 | 0,93 | 0,85 | 0,83 | 376 | 4,2 | 1579 |

| | | | | | | IP4 | 4 2p = | = 10 и 12 | | | | | | | |
|----------|----|------|------|------|------|----------|---------------------|-----------|-----|------|------|------|------|----------|---------------------|
| mun | P | кпд | cos | Βδ | А/см | $A/мм^2$ | $\Delta t^{\circ}C$ | mun | P | кпд | cos | Βδ | А/см | $A/мм^2$ | $\Delta t^{\circ}C$ |
| 4A250S10 | 30 | 0,88 | 0,81 | 0,82 | 407 | 6,7 | 2727 | 4A355M10 | 110 | 0,93 | 0,83 | 0,76 | 385 | 4,3 | 1656 |
| 4A280S10 | 37 | 0,91 | 0,78 | 0,73 | 362 | 3,8 | 1376 | 4A315S12 | 45 | 0,90 | 0,75 | 0,75 | 384 | 4,2 | 1613 |
| 4A280M10 | 45 | 0,91 | 0,78 | 0,78 | 411 | 4,6 | 1891 | 4A315M12 | 55 | 0,91 | 0,75 | 0,76 | 379 | 4,1 | 1554 |
| 4A315S10 | 55 | 0,92 | 0,79 | 0,77 | 362 | 3,8 | 1376 | 4A355S12 | 75 | 0,91 | 0,76 | 0,86 | 382 | 4 | 1528 |
| 4A315M10 | 75 | 0,92 | 0,80 | 0,77 | 398 | 4,4 | 1751 | 4A355M12 | 90 | 0,92 | 0,76 | 0,88 | 372 | 4 | 1488 |
| 4A355S10 | 90 | 0,92 | 0,83 | 0,74 | 407 | 4,4 | 1791 | | | | • | | | • | |

| | | | | повь | шенн | ный пу | сково | й момент IP | 44 | 2p = | 4 | | | | |
|----------|------|------|------|------|------|----------|---------------------|-------------|----|------|------|------|------|----------|---------------------|
| mun | P | кпд | cos | Βδ | А/см | $A/мм^2$ | $\Delta t^{\circ}C$ | mun | P | кпд | cos | Βδ | А/см | $A/мм^2$ | $\Delta t^{\circ}C$ |
| 4AP160S4 | 15 | 0,87 | 0,87 | 0,75 | 306 | 5,6 | 1714 | 4AP200L4 | 45 | 0,92 | 0,88 | 0,78 | 344 | 5,4 | 1858 |
| 4AP160M4 | 18,5 | 0,88 | 0,87 | 0,72 | 300 | 5,5 | 1650 | 4AP225M4 | 55 | 0,92 | 0,88 | 0,82 | 353 | 5,1 | 1800 |
| 4AP180S4 | 22 | 0,90 | 0,87 | 0,81 | 312 | 5,2 | 1622 | 4AP250S4 | 75 | 0,93 | 0,87 | 0,83 | 360 | 4,1 | 1476 |
| 4AP180M4 | 30 | 0,90 | 0,87 | 0,83 | 324 | 5,3 | 1717 | 4AP250M4 | 90 | 0,93 | 0,88 | 0,8 | 372 | 4,2 | 1562 |
| 4AP200M4 | 37 | 0,91 | 0,88 | 8,0 | 355 | 5,6 | 1988 | | | | | | | | |

| | V V V V V V V V V V V V V V V V V V V | | | | | | | | | | | | | | |
|----------|---------------------------------------|------|------|------|-------|----------|---------------------|-------------|-----|------|------|------|------|----------|---------------------|
| | | | | повь | ішені | ный пу | сково | й момент IF | 944 | 2p = | 6 | | | | |
| mun | P | кпд | cos | Βδ | А/см | $A/мм^2$ | $\Delta t^{\circ}C$ | mun | P | кпд | cos | Βδ | А/см | $A/мм^2$ | $\Delta t^{\circ}C$ |
| 4AP160S6 | 11 | 0,85 | 0,83 | 0,86 | 262 | 6,1 | 1598 | 4AP200L6 | 30 | 0,90 | 0,86 | 0,81 | 345 | 5,8 | 2001 |
| 4AP160M6 | 15 | 0,87 | 0,83 | 0,81 | 273 | 6,1 | 1665 | 4AP225M6 | 37 | 0,90 | 0,84 | 0,84 | 343 | 5,3 | 1818 |
| 4AP180M6 | 18,5 | 0,87 | 0,80 | 0,87 | 362 | 5,9 | 2136 | 4AP250S6 | 45 | 0,91 | 0,82 | 0,85 | 330 | 5 | 1650 |
| 4AP200M6 | 22 | 0,90 | 0,85 | 0,81 | 313 | 5 | 1565 | 4AP250M6 | 55 | 0,91 | 0,83 | 0,88 | 354 | 5,3 | 1876 |

| | | | | повь | ішені | ный пу | сково | й момент IF | P44 | 2p = | 8 | | | | |
|----------|------|------|------|------|-------|----------|---------------------|-------------|-----|------|------|------|------|----------|---------------------|
| mun | P | кпд | cos | Βδ | А/см | $A/мм^2$ | $\Delta t^{\circ}C$ | mun | P | кпд | cos | Βδ | А/см | $A/мм^2$ | $\Delta t^{\circ}C$ |
| 4АР160Б8 | 7,5 | 0,86 | 0,75 | 0,78 | 280 | 6,5 | 1820 | 4AP200L8 | 22 | 0,88 | 0,80 | 0,83 | 385 | 6,1 | 2349 |
| 4AP160M8 | 11 | 0,87 | 0,75 | 0,79 | 292 | 6,9 | 2015 | 4AP225M8 | 30 | 0,90 | 0,80 | 0,87 | 410 | 6 | 2460 |
| 4AP180M8 | 15 | 0,86 | 0,77 | 0,79 | 380 | 6,2 | 2356 | 4AP250S8 | 37 | 0,90 | 0,72 | 0,93 | 388 | 5,6 | 2173 |
| 4AP200M8 | 18,5 | 0,88 | 0,78 | 0,85 | 368 | 6,1 | 2245 | 4AP250M8 | 45 | 0,90 | 0,75 | 0,9 | 380 | 5,6 | 2128 |

| | | | | П | овыш | енное | сколь | жение ІР44 | 2p | = 2 | | | | | |
|---------|-----|------|------|------|------|----------|---------------------|------------|-----|------|------|------|------|----------|---------------------|
| mun | P | кпд | cos | Βδ | А/см | $A/мм^2$ | $\Delta t^{\circ}C$ | mun | Р | кпд | cos | Βδ | А/см | $A/мм^2$ | $\Delta t^{\circ}C$ |
| 4AC71A2 | 1 | 0,72 | 0,87 | 0,77 | 198 | 8,6 | 1703 | 4AC100S2 | 4,8 | 0,82 | 0,86 | 0,74 | 266 | 6,4 | 1702 |
| 4AC71B2 | 1,2 | 0,72 | 0,83 | 0,75 | 190 | 8,4 | 1596 | 4AC100L2 | 6,3 | 0,82 | 0,86 | 0,76 | 259 | 6,1 | 1580 |
| 4AC80A2 | 1,9 | 0,75 | 0,87 | 0,69 | 227 | 7 | 1589 | 4AC112M2 | 8 | 0,84 | 0,84 | 0,76 | 245 | 5,5 | 1348 |
| 4AC80B2 | 2,5 | 0,76 | 0,87 | 0,7 | 233 | 7,2 | 1678 | 4AC132M2 | 11 | 0,84 | 0,89 | 0,79 | 252 | 6,1 | 1537 |
| 4AC90L2 | 3,5 | 0,8 | 0,86 | 0,73 | 256 | 7 | 1792 | | | | | | | | |

| | | | | Γ | ЮВЫЦ | зенное | скол | ьжение ІР44 | 1 2p : | = 4 | | | | | |
|----------|------|------|------|------|------|----------|---------------------|-------------|--------|------|------|------|------|----------|---------------------|
| mun | P | кпд | cos | Βδ | А/см | $A/мм^2$ | $\Delta t^{\circ}C$ | mun | P | кпд | cos | Βδ | А/см | $A/мм^2$ | $\Delta t^{\circ}C$ |
| 4AC71A4 | 0,6 | 0,68 | 0,73 | 0,93 | 204 | 7,5 | 1530 | 4AC160S4 | 17 | 0,84 | 0,87 | 0,78 | 337 | 6,2 | 2089 |
| 4AC71B4 | 0,8 | 0,68 | 0,75 | 0,97 | 232 | 8,8 | 2042 | 4AC160M4 | 20 | 0,87 | 0,87 | 0,76 | 312 | 5,7 | 1778 |
| 4AC80A4 | 1,3 | 0,68 | 0,83 | 0,82 | 230 | 8 | 1840 | 4AC180S4 | 21 | 0,86 | 0,92 | 0,74 | 330 | 5,4 | 1782 |
| 4AC80B4 | 1,7 | 0,7 | 0,82 | 0,82 | 236 | 8,3 | 1959 | 4AC180M4 | 26,5 | 0,88 | 0,91 | 0,79 | 304 | 5 | 1520 |
| 4AC90L4 | 2,4 | 0,76 | 0,82 | 0,88 | 254 | 8,3 | 2108 | 4AC200M4 | 31,5 | 0,87 | 0,92 | 0,76 | 314 | 5 | 1570 |
| 4AC100S4 | 3,2 | 0,76 | 0,82 | 0,96 | 258 | 6,8 | 1754 | 4AC200L4 | 40 | 0,89 | 0,93 | 0,73 | 330 | 5,1 | 1683 |
| 4AC100L4 | 4,25 | 0,78 | 0,82 | 0,93 | 260 | 6,7 | 1742 | 4AC225M4 | 50 | 0,87 | 0,92 | 0,76 | 347 | 5 | 1735 |
| 4AC112M4 | 5,6 | 0,79 | 0,83 | 0,92 | 252 | 7,8 | 1966 | 4AC250S4 | 56 | 0,87 | 0,92 | 0,75 | 309 | 3,4 | 1051 |
| 4AC132S4 | 8,5 | 0,82 | 0,85 | 0,95 | 289 | 6,5 | 1879 | 4AC250M4 | 63 | 0,87 | 0,93 | 0,7 | 305 | 3,3 | 1007 |
| 4AC132M4 | 11,8 | 0,84 | 0,86 | 0,95 | 283 | 6,6 | 1868 | | | | | | | | |

| | | | | П | овыц | іенное | сколн | ьжение ІР44 | ł 2p = | 6 | | | | | |
|-----------|------|------|------|------|------|----------|---------------------|-------------|--------|------|------|------|------|----------|---------------------|
| mun | P | кпд | cos | Βδ | А/см | $A/мм^2$ | $\Delta t^{\circ}C$ | mun | P | кпд | cos | Βδ | А/см | $A/мм^2$ | $\Delta t^{\circ}C$ |
| 4AC71A6 | 0,4 | 0,62 | 0,70 | 0,82 | 216 | 7,3 | 1577 | 4AC132M6 | 8,5 | 0,80 | 0,80 | 0,93 | 284 | 7,5 | 2130 |
| 4AC71B6 | 0,63 | 0,65 | 0,70 | 0,85 | 232 | 8,1 | 1879 | 4AC160S6 | 12 | 0,82 | 0,85 | 0,86 | 294 | 6,9 | 2029 |
| 4AC80A6 | 8,0 | 0,61 | 0,68 | 0,93 | 248 | 8,5 | 2108 | 4AC160M6 | 16 | 0,84 | 0,85 | 0,81 | 295 | 6,6 | 1947 |
| 4AC80B6 | 1,2 | 0,66 | 0,73 | 0,85 | 236 | 7,7 | 1817 | 4AC180M6 | 19 | 0,84 | 0,90 | 0,82 | 394 | 6,6 | 2600 |
| 4AC90L6 | 1,7 | 0,71 | 0,72 | 0,92 | 244 | 7,8 | 1903 | 4AC200M6 | 22 | 0,83 | 0,92 | 0,7 | 367 | 5,8 | 2129 |
| 4AC100L6 | 2,6 | 0,75 | 0,76 | 0,87 | 261 | 7 | 1827 | 4AC200L6 | 28 | 0,85 | 0,91 | 0,77 | 361 | 5,8 | 2094 |
| 4AC112MA6 | 3,2 | 0,72 | 0,74 | 0,96 | 261 | 7 | 1827 | 4AC225M6 | 33,5 | 0,81 | 0,91 | 0,78 | 340 | 5,3 | 1802 |
| 4AC112MB6 | 4,2 | 0,75 | 0,79 | 0,9 | 268 | 7,8 | 2090 | 4AC250S6 | 40 | 0,89 | 0,90 | 0,76 | 323 | 4,7 | 1518 |
| 4AC132S6 | 6,3 | 0,79 | 0,80 | 0,95 | 296 | 8,4 | 2486 | 4AC250M6 | 45 | 0,86 | 0,88 | 0,88 | 288 | 4,3 | 1238 |

| | | | | П | ОВЫШ | енное | сколь | жение IP44 | 2p = | 8 | | | | | |
|-----------|------|------|------|------|------|----------|-------|------------|------|------|------|------|------|--------------------------|---------------------|
| mun | P | кпд | cos | Βδ | А/см | $A/мм^2$ | Δt°C | mun | P | кпд | cos | Βδ | А/см | <i>А/мм</i> ² | $\Delta t^{\circ}C$ |
| 4AC71B8 | 0,3 | 0,5 | 0,61 | 0,81 | 239 | 8,3 | 1984 | 4AC132S8 | 4,5 | 0,76 | 0,7 | 0,99 | 297 | 7,9 | 2346 |
| 4AC80A8 | 0,45 | 0,53 | 0,61 | 0,83 | 228 | 7,7 | 1756 | 4AC132M8 | 6 | 0,77 | 0,7 | 0,98 | 236 | 7,4 | 1746 |
| 4AC80B8 | 0,6 | 0,58 | 0,63 | 0,8 | 232 | 7,7 | 1786 | 4AC160S8 | 9 | 0,81 | 8,0 | 0,82 | 318 | 7,2 | 2290 |
| 4AC90LA8 | 0,9 | 0,61 | 0,65 | 0,86 | 235 | 7,8 | 1833 | 4AC160M8 | 12,5 | 0,82 | 0,79 | 0,82 | 314 | 6,8 | 2135 |
| 4AC90LB8 | 1,2 | 0,65 | 0,64 | 0,86 | 237 | 7,6 | 1801 | 4AC180M8 | 15 | 0,83 | 0,83 | 0,81 | 378 | 6,4 | 2419 |
| 4AC100L8 | 1,6 | 0,69 | 0,63 | 0,84 | 259 | 6,8 | 1761 | 4AC200M8 | 20 | 0,83 | 0,85 | 0,79 | 323 | 6,8 | 2196 |
| 4AC112MA8 | 2,2 | 0,68 | 0,65 | 0,96 | 273 | 7 | 1911 | 4AC225M8 | 26,5 | 0,83 | 0,85 | 0,87 | 360 | 5,3 | 1908 |
| 4AC112MB8 | 3,2 | 0,72 | 0,7 | 0,94 | 295 | 8 | 2360 | 4AC250S8 | 36 | 0,85 | 0,85 | 0,8 | 389 | 5,8 | 2256 |

| | | | | | | | IP23 2 | 2p = 2 | | | | | | | |
|----------|----|------|------|------|------|----------|---------------------|----------|-----|------|------|------|------|----------|---------------------|
| mun | P | кпд | cos | Βδ | А/см | $A/мм^2$ | $\Delta t^{\circ}C$ | mun | P | кпд | cos | Βδ | А/см | $A/мм^2$ | $\Delta t^{\circ}C$ |
| 4AH160S2 | 22 | 0,88 | 0,88 | 0,77 | 460 | 8,4 | 3864 | 4AH200M2 | 55 | 0,91 | 0,90 | 0,83 | 465 | 5,7 | 2651 |
| 4AH160M2 | 30 | 0,90 | 0,91 | 0,7 | 491 | 9 | 4419 | 4AH200L2 | 75 | 0,92 | 0,90 | 0,82 | 508 | 6,2 | 3150 |
| 4AH180S2 | 37 | 0,91 | 0,91 | 0,83 | 448 | 6,3 | 2822 | 4AH225M2 | 90 | 0,92 | 0,88 | 0,92 | 525 | 6,4 | 3360 |
| 4AH180M2 | 45 | 0,91 | 0,91 | 0,79 | 482 | 7 | 3374 | 4AH250S2 | 110 | 0,93 | 0,86 | 0,87 | 505 | 5,6 | 2828 |

| | | | | | | | IP23 <i>2</i> | 2p = 4 | | | | | | | |
|----------|------|------|------|------|------|----------|---------------|----------|-----|------|------|------|------|----------|---------------------|
| mun | P | кпд | cos | Βδ | А/см | $A/мм^2$ | Δt°C | mun | P | кпд | cos | Βδ | А/см | $A/мм^2$ | $\Delta t^{\circ}C$ |
| 4AH160S4 | 18,5 | 0,88 | 0,87 | 0,72 | 304 | 7,2 | 2189 | 4AH200L4 | 55 | 0,92 | 0,89 | 0,78 | 414 | 6,5 | 2691 |
| 4AH160M4 | 22 | 0,90 | 0,88 | 0,69 | 373 | 6,7 | 2499 | 4AH225M4 | 75 | 0,92 | 0,89 | 0,82 | 470 | 6,8 | 3196 |
| 4AH180S4 | 30 | 0,90 | 0,84 | 0,81 | 418 | 6,7 | 2801 | 4AH250S4 | 90 | 0,93 | 0,89 | 0,81 | 472 | 5,2 | 2454 |
| 4AH180M4 | 37 | 0,90 | 0,89 | 0,79 | 413 | 6,9 | 2850 | 4AH250M4 | 110 | 0,93 | 0,89 | 0,83 | 507 | 5,5 | 2789 |
| 4AH200M4 | 45 | 0,91 | 0,89 | 8,0 | 424 | 6,7 | 2841 | | | | | | | | |

| | | | | | | | IP23 2 | <i>2p =</i> 6 | | | | | | | |
|----------|------|------|------|------|------|----------|---------------------|---------------|-----|------|------|------|------|----------|---------------------|
| mun | P | кпд | cos | Βδ | А/см | $A/мм^2$ | $\Delta t^{\circ}C$ | mun | P | кпд | cos | Βδ | А/см | $A/мм^2$ | $\Delta t^{\circ}C$ |
| 4AH180S6 | 18,5 | 0,89 | 0,85 | 8,0 | 397 | 6,7 | 2660 | 4AH250S6 | 55 | 0,92 | 0,87 | 0,85 | 392 | 5,9 | 2313 |
| 4AH180M6 | 22 | 0,88 | 0,87 | 0,8 | 383 | 6,7 | 2566 | 4AH250M6 | 75 | 0,93 | 0,87 | 0,85 | 395 | 5,5 | 2173 |
| 4AH200M6 | 30 | 0,90 | 0,88 | 0,81 | 417 | 6,6 | 2752 | 4AH280S6 | 90 | 0,92 | 0,89 | 0,85 | 445 | 4,9 | 2181 |
| 4AH200L6 | 37 | 0,90 | 0,88 | 0,81 | 379 | 6,2 | 2350 | 4AH280M6 | 110 | 0,92 | 0,89 | 0,82 | 460 | 5,4 | 2484 |
| 4AH225M6 | 45 | 0,91 | 0,87 | 0,83 | 430 | 6,5 | 2795 | | • | • | • | | | • | • |

| | | | | | | | IP23 2 | ?p = 8 | | | | | | | |
|----------|------|------|------|------|------|----------|---------------------|----------|-----|------|------|------|------|----------|---------------------|
| mun | P | кпд | cos | Βδ | А/см | $A/мм^2$ | $\Delta t^{\circ}C$ | mun | P | кпд | cos | Βδ | А/см | $A/мм^2$ | $\Delta t^{\circ}C$ |
| 4AH180S8 | 15 | 0,88 | 0,87 | 0,81 | 377 | 6,4 | 2413 | 4AH250S8 | 45 | 0,91 | 0,81 | 0,84 | 410 | 5,9 | 2419 |
| 4AH180M8 | 18,5 | 0,87 | 0,80 | 0,75 | 373 | 6,1 | 2275 | 4AH250M8 | 55 | 0,92 | 0,81 | 0,83 | 425 | 6,2 | 2635 |
| 4AH200M8 | 22 | 0,89 | 0,54 | 0,75 | 403 | 6,5 | 2620 | 4AH280S8 | 75 | 0,92 | 0,85 | 0,82 | 390 | 4,4 | 1716 |
| 4AH200L8 | 30 | 0,89 | 0,82 | 0,76 | 379 | 6 | 2274 | 4AH280M8 | 90 | 0,92 | 0,86 | 0,82 | 408 | 4,3 | 1754 |
| 4AH225M8 | 37 | 0,90 | 0,81 | 0,83 | 416 | 6,4 | 2662 | 4AH315S8 | 110 | 0,93 | 0,86 | 0,79 | 434 | 4,6 | 1996 |

| | | | | | | | P23 2 | p = 10 | | | | | | | |
|-----------|----|------|------|------|------|----------|-------|-----------|-----|------|------|------|------|----------|---------------------|
| mun | Р | кпд | cos | Βδ | А/см | $A/мм^2$ | Δt°C | mun | P | кпд | cos | Βδ | А/см | $A/мм^2$ | $\Delta t^{\circ}C$ |
| 4AH280S10 | 45 | 0,90 | 0,81 | 0,71 | 432 | 4,3 | 1858 | 4AH315M10 | 90 | 0,91 | 0,82 | 0,73 | 455 | 5 | 2275 |
| 4AH280M10 | 55 | 0,90 | 0,81 | 0,72 | 437 | 4,6 | 2010 | 4AH355S10 | 110 | 0,92 | 0,83 | 0,84 | 453 | 4,5 | 2039 |
| 4AH315S10 | 75 | 0,91 | 0,82 | 0,72 | 435 | 4,9 | 2132 | | | | | | | | |

| | | | | | | I | P23 2 | p = 12 | | | | | | | |
|-----------|----|------|------|------|------|----------|---------------------|-----------|-----|------|------|------|------|----------|---------------------|
| mun | P | кпд | cos | Βδ | А/см | $A/мм^2$ | $\Delta t^{\circ}C$ | mun | P | кпд | cos | Βδ | А/см | $A/мм^2$ | $\Delta t^{\circ}C$ |
| 4AH315S12 | 55 | 0,90 | 0,78 | 0,68 | 451 | 4,8 | 2165 | 4AH355S12 | 90 | 0,91 | 0,77 | 0,89 | 444 | 4,3 | 1909 |
| 4AH315M12 | 75 | 0,91 | 0,78 | 8,0 | 442 | 5 | 2210 | 4AH355M12 | 110 | 0,92 | 0,77 | 0,93 | 450 | 4,4 | 1980 |

Значение индукции в воздушном зазоре $B\delta$, Tл. двигателей АИР (IP44)

| при числе | | | | | высота | оси вра | ащения | | | | |
|-----------|------|------|------|------|--------|---------|--------|------|------|------|------|
| полюсов | 71 | 80 | 90 | 100 | 112 | 132 | 160 | 180 | 200 | 225 | 250 |
| 22 - 2 | 0,77 | 0,75 | 0,75 | 0,74 | 0,71 | 0,72 | 0,73 | 0,85 | 0,81 | 0,74 | 0,81 |
| 2p = 2 | 0,80 | 0,69 | _ | 0,71 | _ | _ | 0,73 | 0,81 | 0,81 | _ | 0,79 |
| 2n - 1 | 0,88 | 0,83 | 0,85 | 0,89 | 0,86 | 0,90 | 0,83 | 0,80 | 0,86 | 0,80 | 0,76 |
| 2p = 4 | 0,88 | 0,80 | _ | 0,88 | - | 0,90 | 0,81 | 0,81 | 0,82 | _ | 0,76 |
| 20 - 6 | 0,87 | 0,90 | 0,85 | 0,86 | 0,85 | 0,85 | 0,85 | 0,76 | 0,72 | 0,89 | 0,82 |
| 2p = 6 | 0,81 | 0,84 | _ | _ | 0,82 | 0,88 | 0,87 | _ | 0,76 | _ | 0,84 |
| 2n = 0 | 0,77 | 0,90 | 0,70 | 0,85 | 0,90 | 0,94 | 0,90 | 0,79 | 0,77 | 0,88 | 0,89 |
| 2p = 8 | 0,77 | 0,90 | 0,72 | _ | 0,90 | 0,92 | 0,90 | _ | 0,76 | _ | 0,89 |

Значение линейной нагрузки А/см. двигателей АИР (IP44) справочные данные.

| при числе | | | | | высота | оси вра | ащения | | | | |
|-----------|-----|-----|-----|-----|--------|---------|--------|-----|-----|-----|-----|
| полюсов | 71 | 80 | 90 | 100 | 112 | 132 | 160 | 180 | 200 | 225 | 250 |
| 20 - 2 | 170 | 210 | _ | 250 | 280 | 245 | 360 | 400 | 450 | 435 | 470 |
| 2p = 2 | 200 | 240 | 240 | 275 | - | _ | 350 | 415 | 450 | _ | 480 |
| 2 4 | 230 | 220 | ı | 280 | 270 | 285 | 345 | 390 | 375 | 365 | 320 |
| 2p = 4 | 215 | 225 | 245 | 270 | 1 | 300 | 355 | 390 | 390 | 1 | 390 |
| 2n - 6 | 210 | 225 | - | _ | 270 | 270 | 305 | 345 | 350 | 365 | 380 |
| 2p = 6 | 210 | 230 | 245 | 235 | 270 | 275 | 305 | _ | 375 | _ | 400 |
| 2n = 0 | 205 | 205 | 225 | - | 285 | 285 | 295 | 370 | 360 | 385 | 420 |
| 2p = 8 | 170 | 210 | - | 250 | 280 | 245 | 360 | 400 | 450 | 435 | 470 |

Значение *кпд* и *соѕ*ф, линейной нагрузки, плотность тока, фактор нагрева двигателей АИР (IP44) расчетные данные.

| | | | | | | IP44 2 | 2p = 2 | | | | | | |
|----------|------|------|------|------|----------|--------|----------|------|------|------|------|----------|------|
| mun | P | η | cosφ | А/см | $A/мм^2$ | Δt°C | mun | P | η | cosφ | А/см | $A/мм^2$ | Δt°C |
| АИР71А2 | 0,75 | 0,78 | 0,83 | 164 | 5,56 | 910 | АИР160S2 | 15 | 0.90 | 0,89 | 358 | 5,15 | 1842 |
| АИР71В2 | 1,1 | 0,79 | 0,83 | 203 | 8,15 | 1657 | АИР160М2 | 18,5 | 0,9 | 0,9 | 354 | 4,90 | 1733 |
| АИР80А2 | 1,5 | 0,81 | 0,85 | 210 | 6,55 | 1375 | АИР180S2 | 22 | 0,9 | 0,89 | 388 | 4,91 | 1909 |
| АИР80В2 | 2,2 | 0,83 | 0,87 | 242 | 7,26 | 1755 | АИР180М2 | 30 | 0,91 | 0,9 | 421 | 5,37 | 2264 |
| AИP90L2 | 3 | 0,84 | 0,88 | 239 | 6,21 | 1488 | АИР200М2 | 37 | 0,91 | 0,87 | 441 | 4,53 | 1998 |
| АИР100S2 | 4 | 0,87 | 0,88 | 251 | 5,04 | 1265 | АИР200L2 | 45 | 0,92 | 0,88 | 477 | 5,01 | 2392 |
| АИР100L2 | 5,5 | 0,88 | 0,89 | 276 | 5,43 | 1496 | АИР225М2 | 55 | 92,5 | 0,91 | 433 | 4,88 | 2112 |
| АИР112М2 | 7,5 | 0,87 | 0,88 | 287 | 6,12 | 1754 | АИР250S2 | 75 | 0,93 | 0,9 | 481 | 4,27 | 2052 |
| АИР132М2 | 11 | 0,88 | 0,9 | 279 | 5,42 | 1515 | АИР250М2 | 90 | 0,93 | 0,92 | 505 | 4,43 | 2237 |

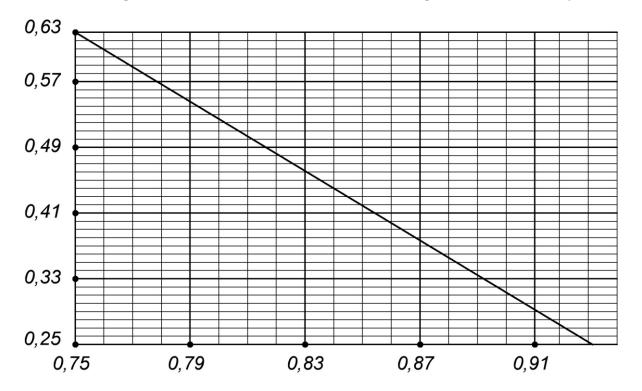
| | | | | | | IP44 2 | 2p = 4 | | | | | | |
|----------|------|------|------|------|----------|---------------------|----------|------|------|------|------|----------|---------------------|
| mun | P | η | cosφ | А/см | A/MM^2 | $\Delta t^{\circ}C$ | mun | P | η | cosφ | А/см | A/MM^2 | $\Delta t^{\circ}C$ |
| АИР71А4 | 0,55 | 0,7 | 0,7 | 248 | 8,23 | 2041 | АИР160S4 | 15 | 0,9 | 0,89 | 353 | 5,29 | 1870 |
| АИР71В4 | 0,75 | 0,73 | 0,76 | 231 | 7,74 | 1788 | АИР160М4 | 18,5 | 0,9 | 0,89 | 364 | 5,53 | 2016 |
| АИР80А4 | 1,1 | 0,75 | 0,81 | 217 | 8,71 | 1889 | АИР180S4 | 22 | 0,9 | 0,87 | 391 | 5,26 | 2054 |
| АИР80В4 | 1,5 | 0,78 | 0,83 | 225 | 8,90 | 2004 | АИР180М4 | 30 | 0,92 | 0,87 | 390 | 5,35 | 2085 |
| AИP90L4 | 2,2 | 0,81 | 0,83 | 243 | 8,75 | 2126 | АИР200М4 | 37 | 0,92 | 0,89 | 377 | 5,22 | 1968 |
| АИР100S4 | 3 | 0,82 | 0,83 | 280 | 6,80 | 1906 | АИР200L4 | 45 | 0,92 | 0,89 | 396 | 5,15 | 2038 |
| АИР100L4 | 4 | 0,85 | 0,84 | 271 | 6,20 | 1682 | АИР225М4 | 55 | 0,93 | 0,89 | 409 | 4,96 | 2030 |
| АИР112М4 | 5,5 | 0,85 | 0,86 | 287 | 6,54 | 1876 | АИР250S4 | 75 | 0,94 | 0,88 | 432 | 4,46 | 1929 |
| АИР132S4 | 7,5 | 0,87 | 0,86 | 283 | 5,48 | 1550 | АИР250М4 | 90 | 0,94 | 0,89 | 456 | 4,61 | 2103 |
| АИР132М4 | 11 | 0,87 | 0,87 | 296 | 5,57 | 1650 | | | | • | • | | |

| | | | | | | IP44 2 | p = 6 | | | | | | |
|-----------|------|------|------|------|----------|---------------------|----------|------|------|------|------|----------|------|
| mun | P | η | cosφ | А/см | $A/мм^2$ | $\Delta t^{\circ}C$ | mun | P | η | cosφ | А/см | $A/мм^2$ | Δt°C |
| АИР71А6 | 0,37 | 0,65 | 0,65 | 215 | 8,35 | 1792 | АИР132М6 | 7,5 | 0,85 | 0,81 | 271 | 6,59 | 1783 |
| АИР71В6 | 0,55 | 0,68 | 0,7 | 219 | 8,82 | 1931 | АИР160S6 | 11 | 0,88 | 0,83 | 310 | 6,57 | 2038 |
| АИР80А6 | 0,75 | 0,7 | 0,72 | 226 | 9,14 | 2067 | АИР160М6 | 15 | 0,88 | 0,85 | 303 | 6,52 | 1976 |
| АИР80В6 | 1,1 | 0,74 | 0,74 | 225 | 7,73 | 1736 | АИР180М6 | 18,5 | 0,89 | 0,85 | 366 | 5,94 | 2172 |
| АИР90L6 | 1,5 | 0,76 | 0,72 | 248 | 8,27 | 2049 | АИР200М6 | 22 | 0,9 | 0,83 | 349 | 5,53 | 1928 |
| АИР100L6 | 2,2 | 0,81 | 0,74 | 236 | 6,28 | 1483 | АИР200L6 | 30 | 0,9 | 0,85 | 397 | 6,32 | 2508 |
| АИР112МА6 | 3 | 0,81 | 0,76 | 274 | 7,62 | 2085 | АИР225М6 | 37 | 0,91 | 0,85 | 385 | 5,99 | 2309 |
| АИР112МВ6 | 4 | 0,82 | 0,81 | 289 | 7,53 | 2173 | АИР250S6 | 45 | 0,92 | 0,85 | 401 | 5,45 | 2183 |
| АИР132S6 | 5,5 | 0,85 | 0,8 | 325 | 7,85 | 2550 | АИР250М6 | 55 | 0,92 | 0,86 | 400 | 5,61 | 2241 |

| | | | | | | IP44 2 | p = 8 | | | | | | |
|-----------|------|------|------|------|----------|---------------------|----------|------|------|------|------|----------|------|
| mun | P | η | cosφ | А/см | $A/мм^2$ | $\Delta t^{\circ}C$ | mun | P | η | cosφ | А/см | $A/мм^2$ | Δt°C |
| АИР71В8 | 0,25 | 0,56 | 0,65 | 206 | 8,27 | 1701 | АИР132М8 | 5,5 | 0,83 | 0,74 | 281 | 7,03 | 1979 |
| АИР80А8 | 0,37 | 0,6 | 0,61 | 208 | 7,94 | 1649 | АИР160S8 | 7,5 | 0,87 | 0,75 | 296 | 5,31 | 1573 |
| АИР80В8 | 0,55 | 0,64 | 0,63 | 222 | 8,44 | 1870 | АИР160М8 | 11 | 0,87 | 0,75 | 300 | 5,46 | 1638 |
| AИP90LA8 | 0,75 | 0,7 | 0,66 | 153 | 6,67 | 1019 | АИР180М8 | 15 | 0,89 | 0,82 | 377 | 6,01 | 2267 |
| AИP90LB8 | 1,1 | 0,72 | 0,7 | 166 | 6,80 | 1125 | АИР200М8 | 18,5 | 0,89 | 0,81 | 392 | 6,24 | 2441 |
| АИР100L8 | 1,5 | 0,76 | 0,73 | 215 | 5,54 | 1193 | АИР200L8 | 22 | 0,9 | 0,81 | 383 | 3,28 | 1257 |
| АИР112МА8 | 2,2 | 0,76 | 0,71 | 294 | 7,20 | 2116 | АИР225М8 | 30 | 0,9 | 0,81 | 386 | 6,32 | 2435 |
| АИР112МВ8 | 3 | 0,79 | 0,74 | 269 | 6,86 | 1848 | АИР250S8 | 37 | 0,92 | 0,78 | 420 | 5,50 | 2308 |
| АИР132S8 | 4 | 0,83 | 0,7 | 271 | 6,50 | 1759 | АИР250М8 | 45 | 0,92 | 0,79 | 438 | 5,88 | 2571 |

| | | | | | | IP44 2 | 2p = 10 | | | | | | |
|-----------|----|---|------|------|----------|--------|-----------|----|---|------|------|----------|------|
| mun | P | η | cosφ | А/см | A/MM^2 | Δt°C | mun | P | η | cosφ | А/см | $A/мм^2$ | Δt°C |
| АИР250S10 | 22 | - | - | 375 | 5,48 | 2054 | АИР250М10 | 30 | - | - | 398 | 5,62 | 2238 |

Расчет приближенного тока холостого хода электродвигателя по соѕф.



По нижней линии находим соответствующий электродвигателю *cos*φ (0,75 – 0,91). На пересечении линии – на вертикальной оси соответствующий коэффициент.

Расчетная формула:

$$Io = k \times IH \times cos$$

Где: Io – ток холостого хода, A, k – коэффициент расчета, Iн – номинальный ток двигателя, $cos\phi$ – косинус " ϕu ".

Например, *соs*φ 0,89 соответствует коэффицент 0,335, тогда ток холостого хода составит:

$$Io = 0.335 \times 18.5 \times 0.89 = 5.5 A$$

Средние значения тока холостого хода в долях от номинального.

| Р, кВт | | синхро | нная скорост | ъ вращения, с | об. мин. | |
|------------|------|--------|--------------|---------------|----------|------|
| P, KDIII | 3000 | 1500 | 1000 | 750 | 600 | 500 |
| 0,1 - 0,5 | 0,55 | 0,7 | 8,0 | 0,9 | 0,95 | 0,95 |
| 0,51 – 1 | 0,4 | 0,55 | 0,6 | 0,65 | 0,85 | 0,9 |
| 1,1 - 5 | 0,35 | 0,5 | 0,55 | 0,6 | 0,65 | 0,7 |
| 5,1 - 10 | 0,25 | 0,45 | 0,5 | 0,55 | 0,6 | 0,65 |
| 10,1 - 25 | 0,2 | 0,40 | 0,45 | 0,5 | 0,55 | 0,6 |
| 25,1 – 50 | 0,18 | 0,35 | 0,4 | 0,45 | 0,5 | 0,55 |
| 50,1 - 100 | 0,18 | 0,3 | 0,33 | 0,35 | 0,4 | 0,45 |

Таблица 12. Бабенко 1965. Допустимые величины тока холостого хода электродвигателей в процентах номинального.

| Мощность | Ско | рость вращ | ения электр | одвигате | ля об. ми | Н. |
|------------------------------|------|------------|-------------|----------|-----------|-----|
| электродвигателя, <i>квт</i> | 3000 | 1500 | 1000 | 750 | 600 | 500 |
| От 0,1 – до 0,5 | 60 | 75 | 85 | 90 | 95 | 1 |
| 0,51 - 1,0 | 50 | 70 | 75 | 80 | 85 | 90 |
| 1,1 – 5,0 | 45 | 65 | 70 | 75 | 80 | 85 |
| 5,1 - 10,0 | 40 | 60 | 65 | 70 | 75 | 80 |
| 10,1 – 25,0 | 30 | 55 | 60 | 65 | 70 | 75 |
| 25,1 -50,0 | 20 | 50 | 55 | 60 | 65 | 70 |
| 50,1 - 100 | 18 | 40 | 45 | 50 | 55 | 60 |

Средние значения токов холостого хода асинхронных электродвигателей в долях от номинального тока.

| Мощность | | Синхрон | ная скорості | ь вращения | об. мин. | |
|------------|------|---------|--------------|------------|----------|------|
| квт | 3000 | 1500 | 1000 | 750 | 600 | 500 |
| 0,1 - 0,5 | 0,55 | 0,70 | 0,80 | 0,90 | 0,95 | _ |
| 0,51 - 1,0 | 0,40 | 0,55 | 0,60 | 0,65 | 0,85 | 0,90 |
| 1,1 - 5,0 | 0,35 | 0,50 | 0,55 | 0,60 | 0,65 | 0,70 |
| 5,1 - 10 | 0,25 | 0,45 | 0,50 | 0,55 | 0,60 | 0,65 |
| 10,1 - 25 | 0,20 | 0,40 | 0,45 | 0,50 | 0,55 | 0,60 |
| 25,1 – 50 | 0,18 | 0,35 | 0,40 | 0,45 | 0,50 | 0,55 |
| 50,1 - 100 | 0,18 | 0,25 | 0,30 | 0,35 | 0,40 | 0,45 |

Примечание. Для крановых электродвигателей величины тока холостого хода выше указанных в этой таблице в 1,3 – 1,4 раза.

| Mayyyaamy | 500 - 150 | 00 об. мин. | 3000 (| об. мин. |
|-------------|-------------------|-------------------|-------------------|--------------------|
| Мощность | Нормальный | Увеличенный | Нормальный | Увеличенный |
| квт | зазор, <i>мм.</i> | зазор, <i>мм.</i> | зазор, <i>мм.</i> | зазор в <i>мм.</i> |
| 0,12 - 0,25 | 0,20 | 0,30 | 0,25 | 0,40 |
| 0,5 - 0,75 | 0,25 | 0,40 | 0,30 | 0,50 |
| 1 – 2 | 0,30 | 0,50 | 0,35 | 0,50 |
| 2 – 7,5 | 0,35 | 0,65 | 0,50 | 0,80 |
| 10 - 15 | 0,40 | 0,65 | 0,65 | 1,00 |
| 20 - 40 | 0,50 | 0,80 | 0,80 | 1,25 |
| 50 – 75 | 0,65 | 1,00 | 1,00 | 1,50 |
| 100 | 0,80 | 1,25 | 1,25 | 1,75 |
| 125 - 180 | 0,80 | 1,25 | 1,25 | 1,75 |
| 200 – 250 | 1,00 | 1,50 | 1,50 | 2,00 |

Допустимые отклонения величин воздушных зазоров в процентах от среднеарифметического значения $\pm~10\%$

Величины воздушного зазора.

| <i>h</i> высота оси | δ (мм.) при различных значениях $2p$ | | | | | | |
|---------------------|---|------|-------|---------|--|--|--|
| вращения, мм. | 2 | 4 | 6 и 8 | 10 и 12 | | | |
| 50 | 0,25 | 0,25 | 0,25 | _ | | | |
| 56 | 0,30 | 0,25 | 0,25 | _ | | | |
| 63 | 0,35 | 0,25 | 2,25 | _ | | | |
| 71,80 | 0,35 | 0,25 | 0,25 | _ | | | |
| 90 | 0,40 | 0,25 | 0,25 | _ | | | |
| 100 | 0,45 | 0,30 | 0,30 | _ | | | |
| 112 | 0,50 | 0,30 | 0,30 | _ | | | |
| 132 | 0,60 | 0,35 | 0,35 | _ | | | |
| 160 | 0,80 | 0,50 | 0,50 | _ | | | |
| 180 | 1,0 | 0,60 | 0,45 | _ | | | |
| 200 | 1,0 | 0,70 | 0,50 | _ | | | |
| 225 | 1,0 | 0,85 | 0,60 | - | | | |
| 250 | 1,2 | 1,0 | 0,70 | - | | | |
| 280 | 1,3 | 1,0 | 0,80 | 0,70 | | | |
| 315 | 1,5 | 1,0 | 0,90 | 0,80 | | | |
| 355 | 1,8 | 1,2 | 1,0 | 0,90 | | | |
| 400 | 2,0 | 1,4 | 1,2 | 1,0 | | | |
| 450 | 2,0 | 1,4 | 1,2 | 1,0 | | | |

Изоляция пазовая всыпной статорной обмотки асинхронного двигателя.

| высота оси вращения 50 – 132 мм. | | | | | | | |
|----------------------------------|---|-------------------------|--|--|--|--|--|
| | 1 коробка пазовая | 0,2 – 0,25 мм. | | | | | |
| | 2 крышка пазовая | 0,25 – 0,35 мм. | | | | | |
| 1 | прокладка межфазная в лобовой части обмотки | 0,35 мм. | | | | | |
| | изоляция внутримашинных соединений | трубка типа ТКСП | | | | | |
| | бандаж лобовых частей | нить полиэфирная | | | | | |
| | оандаж лооовых частей | крученая или стеклянная | | | | | |
| | пропитка лак типа | КО916 | | | | | |
| | покрытие лобовых частей | эмаль типа ГФ | | | | | |

| высота оси вращения 160 – 250 мм. | | | | | |
|-----------------------------------|------------------------|--------------------|--|--|--|
| | 1 коробка пазовая | 0,37 – 0,4 мм. | | | |
| | 2 крышка пазовая | 0,5 мм. | | | |
| 5 5 | 3 прокладка межслойная | 0,37 – 0,5 мм. | | | |
| | 4 прокладка под клин | 0,5 мм. | | | |
| 4 - | 5 клин пазовый | | | | |
| | прокладка межфазная в | 0,37 – 0,4 мм. | | | |
| | лобовой части обмотки | 0,37 = 0,4 MM. | | | |
| 3 | изоляция | | | | |
| | внутримашинных | трубка типа ТКСП | | | |
| | соединений | | | | |
| | бандаж лобовых частей | нить стеклянная | | | |
| (acholachach) | пропитка лак | К0916, ПЭ993 | | | |
| | покрытие лобовых | эмаль типа ЭП91 | | | |
| | частей | JMAJID IMIIA JIIJI | | | |

| высота оси вращения 280 – 355 мм. | | | | | | | |
|-----------------------------------|---|---|--|--|--|--|--|
| | 1 коробка пазовая | 0,6 – 0,65 мм. | | | | | |
| 1 — | 2 прокладка под клин | 0,5 мм. | | | | | |
| 2 | 3 прокладка межслойная | 0,4 – 0,5 мм. | | | | | |
| | 4 клин пазовый | | | | | | |
| 1 | 5 прокладка на дно паза | 0,5 мм. (стеклотекстолит) | | | | | |
| 3 | прокладка межфазная в лобовой части обмотки | 0,45 мм. | | | | | |
| | изоляция внутримашинных соединений | трубка типа ТКСП и стеклоткань | | | | | |
| 5 | бандаж лобовых частей | лента стеклянная или лавсановая тафтяная | | | | | |
| | привязка межфазных прокладок | нить стеклянная | | | | | |
| | пропитка лак | КО916, КО964 | | | | | |
| | покрытие лобовых частей | эмаль типа ЭП91 | | | | | |

Рекомендации толщин изоляционных гильз, коробка пазовая (круглый провод) в зависимости от мощности.

| Р, квт | толщина гильз, мм. | Р, квт | толщина гильз, мм. |
|---------|--------------------|-----------|--------------------|
| до 1 | 0,2 | 60 - 80 | 0,4 |
| 1 – 2 | 0,22 | 80 - 110 | 0,4 |
| 2 - 3 | 0,22 | 110 - 140 | 0,5 |
| 3 – 5 | 0,27 | 140 - 170 | 0,5 |
| 5 - 10 | 0,27 | 170 – 200 | 0,6 |
| 10 - 15 | 0,3 | 200 – 250 | 0,6 |
| 15 – 25 | 0,35 | 250 – 300 | 0,8 |
| 25 - 40 | 0,35 | 300 - 400 | 0,8 |
| 40 - 60 | 0.4 | | |

Толщины пазовой изоляции электродвигателей АИР

| высота оси вращения, <i>мм</i> . | односторонняя толщина изоляции, <i>мм</i> . |
|-------------------------------------|---|
| 45 – 80 | 0,2 |
| 90 - 132 | 0,3 |
| 160 – 250 | 0,4 |
| 280 – 355 | 0,5 |

| 0 | высота оси вращения, <i>мм</i> . | толщина пазовой крышки, не менее, <i>мм</i> . |
|---|-------------------------------------|--|
| | 45 – 80 | 0,3 |
| | 90 - 100 | 0,35 |
| | 112 - 132 | 0,4 |
| | 160 - 250 | 0,5 |

Сечение выводных проводов в зависимости от мощности.

| Р, квт | кабель на 3 вывода △Ү и 6 выводов Ү, мм². | о выводов | плот. тока <i>А/мм</i> ² | тока | Р, квт | кабель на 3 вывода △Ү и 6 выводов Ү, мм². | кабель на 6 выводов △, мм². | плот. тока <i>A/мм</i> ² | сила тока, <i>А</i> |
|---------|--|-----------|--------------------------------|------|-----------|--|-----------------------------------|---|---------------------------|
| до 1 | 0,5 | 0,35 | 10 | 5 | 60 - 80 | 25 | 16 | 6 | 150 |
| 1 – 2 | 0,75 | 0,5 | 9,5 | 7 | 80 - 110 | 35 | 25 | 5 | 190 |
| 2 – 3 | 1,0 | 0,75 | 9 | 9 | 110 - 140 | 50 | 25 | 5 | 250 |
| 3 – 5 | 1,5 | 1,0 | 9 | 14 | 140 - 170 | 70 | 35 | 4,5 | 310 |
| 5 - 10 | 2,5 | 1,5 | 9 | 23 | 170 – 200 | 90 | 50 | 4 | 360 |
| 10 - 15 | 4 | 2,5 | 8,5 | 35 | 200 – 250 | 110 | 50 | 4 | 440 |
| 15 – 25 | 6 | 4 | 8 | 50 | 250 - 300 | 125 | 70 | 4 | 500 |
| 25 - 40 | 10 | 6 | 7,5 | 75 | 300 - 400 | 140 | 70 | 4 | 560 |
| 40 - 60 | 16 | 10 | 7 | 110 | | | | | |

Коэффициенты заполнения паза проводниками электродвигателей серии 4А.

| рикота | | толщина | то тини | | k_1 | k_2 | <i>k</i> ₃ | кпм |
|---|---|---|--|----------------|-----------------------------------|------------|--|--------------------------|
| высота оси вращения <i>h, мм</i> . | диаметры проводов* <i>d, мм</i> . | изоляции провода (средняя) <i>мм</i> . | толщина пазовой коробки <i>мм</i> . | тип обмотки | $\left(\frac{d}{d$ из $\right)^2$ | Qпиз Q п | $rac{n 	imes d_{\scriptscriptstyle m H3}^2}{Q$ пиз | $rac{Q$ медь $}{Q} \pi$ |
| 56 | 0,29 - 0,33 | 0,05 | 0,20 | однсл | 0,74 | 0,85 | 0,65 | 0,41 |
| 63 | 0,33 - 0,44 | 0,05 | 0,20 | - | 0,78 | 0,86 | 0,65 | 0,43 |
| 71 | 0,41 - 0,59 | 0,05 - 0,06 | 0,25 | - | 0,81 | 0,73 | 0,74 | 0,44 |
| 80 | 0,49 - 0,93 | 0,05 - 0,07 | 0,25 | - | 0,84 | 0,75 | 0,73 | 0,46 |
| 90 | 0,67-1,08 | 0,06 - 0,08 | 0,25 | - | 0,85 | 0,75 | 0,73 | 0,47 |
| 100 | 0,93 - 1,30 | 0,07 - 0,08 | 0,25 | - | 0,87 | 0,79 | 0,72 | 0,49 |
| 112 | 1,04 - 1,40 | 0,08 | 0,30 | ı | 0,88 | 0,75 | 0,73 | 0,48 |
| 132 | 1,04 - 1,40 | 0,08 | 0,30 | - | 0,88 | 0,78 | 0,72 | 0,49 |
| 160 | 1,16 - 1,56 | 0,08 | 0,40 | _ | 0,89 | 0,74 | 0,72 | 0,47 |
| 180 | 1,16 - 1,56 | 0,08 | 0,40 | одн– двсл | 0,89 | 0,73 | 0,72 | 0,465 |
| 200 | 1,20 – 1,56 | 0,08 | 0,40 | одн– двсл | 0,894 | 0,76 | 0,72 | 0,49 |
| 225 | 1,30 - 1,50 | 0,08 | 0,40 | двсл | 0,897 | 0,77 | 0,73 | 0,50 |
| 250 | 1,50 – 1,62 | 0,08 | 0,40 | двсл | 0,90 | 0,77 | 0,73 | 0,51 |

 $^{^{*}}$ некоторые номиналы диаметров не применяются в настоящее время, устарели.

 k_1 – соотношение сечений изолированного провода и не изолированного:

$$k_1 = \left(\frac{d}{d$$
из $\right)^2$

где d – диаметр голого проводника, dиз – диаметр изолированного проводника, k_1 – коэффициент характеризующий влияние диаметра и толщины изоляции провода на использование площади паза, соотношение сечения голого проводника к сечению с изоляцией, занимаемая часть изоляции от сечения изолированного проводника по отношению к сечению голого.

 k_2 – коэффициент заполнения паза изоляцией, соотношение между площадью просвета изолированного паза Qпиз и не изолированного Qп:

$$k_2 = \frac{Q$$
пиз $}{Q}$ п

 k_3 – коэффициент заполнения изолированного паза изолированными проводниками (в среднем 0,72 – 0,75):

$$k_3 = \frac{n \times d_{\text{из}}^2}{Q$$
пиз

где dиз – диаметр изолированного проводника, n – количество проводников, Qпиз – сечение просвета паза изолированного (остаток после изолировки, то есть минус сечение пазовой коробки, прокладок, клина), коэффициент заполнения паза изолированными проводниками (в среднем принимается 0.72 – 0.75), технологический коэффициент характеризующий влияние неизбежных зазоров между проводами в пазе и не упорядочностью укладки. Этот коэффициент, как основной заполнения паза проводниками, приводится в учебниках по расчету и конструированию электродвигателей.

*k*пм – заполнение паза медью. Отношение суммы площади сечения всех проводников к площади не изолированного паза:

$$k$$
пм $= rac{\dfrac{n imes \pi imes d^2}{4}}{Q$ п $= rac{\pi}{4} imes k_1 imes k_2 imes k_3 = rac{Q$ медь

где n – количество проводников, d – диаметр голого проводника, Qп – сечение просвета не изолированного паза, Qмедь – сумма сечений всех проводников (голых).

Этот коэффициент встречается в ряде пособий по расчету элеткродвигателя при ремонте, в части расчета диаметра проводников при заполнении паза, авторов Жерве, Кокорев и других.

Соответствие высот вращения серий двигателей внешнему диаметру статора Da.

| h uu | серия АО | серия АО2 | серия 4А | серия АИР | серия РА |
|--------|----------|--------------|----------|-----------|----------|
| h, мм. | | | Da, мм. | | |
| 56 | _ | _ | 89 | 89 | _ |
| 63 | _ | _ | 100 | 100 | _ |
| 71 | _ | _ | 116 | 114 | 120 |
| 80 | _ | - | 131 | 126 | 120/140 |
| 90 | _ | 133 | 149 | 145 | 140 |
| 100 | 145 | 153 | 168 | 163 | 140 |
| 112 | _ | 180 | 191 | 184 | 206 |
| 125 | 182 | _ | _ | _ | _ |
| 132 | _ | 208 | 225 | 215 | 206 |
| 160 | _ | 243 | 272 | 260 | 273 |
| 170 | 245 | _ | _ | _ | _ |
| 180 | _ | 291 | 313 | 295 | 273 |
| 200 | 327 | 343 | 349 | 327 | 296 |
| 225 | _ | _ | 392 | 368 | 296 |
| 236 | 368 | | _ | _ | |
| 250 | _ | 393 | 437 | 420 | 344/400 |
| 280 | 423 | 458 | 520 | 480 | |
| 315 | 493 | - | _ | _ | _ |

Наивыгоднейшее укорочение шага обмотки (β) и коэффициенты укорочения (kу) и распределения (kр) и обмоточный коэффициент (kоб) в зависимости от числа пазов на полюс и фазу (q), в соответствии количества пазов статора Z и числа полюсов 2p.

| | | | в виде | | | | Число полюсов/число пазов | | | | | | |
|---------------|-----------|------|------------------------------|-------|-------|-------|---------------------------|----|----|----|----|----|--|
| β | уук | q | простой дроби | ky | kp | коб | 2 | 4 | 6 | 8 | 10 | 12 | |
| 3/3,75 = 0,8 | 3 (1-4) | 1,25 | $1\frac{1}{4} = \frac{5}{4}$ | 0,951 | 0,956 | 0,909 | - | 15 | ı | 30 | ı | 45 | |
| 4/4,5 = 0,89 | 4 (1-5) | 1,5 | $1\frac{1}{2} = \frac{3}{2}$ | 0,984 | 0,959 | 0,943 | 9 | 18 | 27 | 36 | 45 | 54 | |
| 5/6 = 0,83 | 5 (1-6) | 2 | | 0,966 | 0,966 | 0,933 | 12 | 24 | 36 | 48 | 60 | 72 | |
| 6/6,75 = 0,89 | 6 (1-7) | 2,25 | $2\frac{1}{4} = \frac{9}{4}$ | 0,984 | 0,955 | 0,939 | _ | 27 | _ | 54 | _ | 81 | |
| 6/7,5 = 0,8 | 6 (1-7) | 2,5 | $2\frac{1}{2} = \frac{5}{2}$ | 0,951 | 0,956 | 0,909 | 15 | 30 | 45 | 60 | 75 | 90 | |
| 7/9 = 0,78 | 7 (1-8) | 3 | | 0,939 | 0,959 | 0,902 | 18 | 36 | 54 | 72 | 90 | _ | |
| 8/9 = 0,89 | 8 (1-9) | 3 | | 0,984 | 0,959 | 0,945 | 18 | 36 | 54 | 72 | 90 | _ | |
| 7/12 = 0,58 | 7 (1-8) | 4 | | 0,793 | 0,957 | 0,759 | 24 | _ | _ | _ | _ | _ | |
| 8/12 = 0,67 | 8 (1-9) | 4 | | 0,866 | 0,957 | 0,829 | 24 | _ | _ | _ | _ | _ | |
| 9/12 = 0,75 | 9 (1-10) | 4 | | 0,923 | 0,957 | 0,883 | 24 | _ | _ | _ | _ | _ | |
| 10/12 = 0,83 | 10 (1-11) | 4 | | 0,966 | 0,957 | 0,925 | 24 | 48 | 72 | 96 | _ | _ | |
| 11/15 = 0,73 | 11 (1-12) | 5 | | 0,913 | 0,956 | 0,873 | 30 | 60 | - | - | - | _ | |
| 12/15 = 0,8 | 12 (1-13) | 5 | | 0,951 | 0,956 | 0,909 | 30 | 60 | 90 | _ | _ | _ | |
| 13/15 = 0,87 | 13 (1-14) | 5 | | 0,978 | 0,956 | 0,935 | 30 | 60 | 90 | _ | _ | _ | |
| 11/18 = 0,61 | 11 (1-12) | 6 | | 0,819 | 0,956 | 0,783 | 36 | _ | _ | _ | _ | _ | |
| 12/18 = 0,67 | 12 (1-13) | 6 | | 0,866 | 0,956 | 0,828 | 36 | _ | _ | _ | _ | _ | |
| 13/18 = 0,73 | 13 (1-14) | 6 | | 0,906 | 0,956 | 0,866 | 36 | _ | _ | | _ | _ | |
| 14/18 = 0.78 | 14 (1-15) | 6 | | 0,939 | 0,956 | 0,898 | 36 | _ | _ | _ | _ | _ | |
| 15/18 = 0,83 | 15 (1-16) | 6 | | 0,965 | 0,956 | 0,923 | 36 | 72 | _ | _ | _ | _ | |
| 13/24 = 0,54 | 13 (1-14) | 8 | | 0,751 | 0,955 | 0,717 | 48 | _ | _ | _ | _ | _ | |
| 14/24 = 0,58 | 14 (1-15) | 8 | | 0,793 | 0,955 | 0,757 | 48 | _ | _ | _ | _ | _ | |
| 15/24 = 0,63 | 15 (1-16) | 8 | | 0,831 | 0,955 | 0,794 | 48 | _ | _ | _ | _ | _ | |
| 16/24 = 0,67 | 16 (1-17) | 8 | | 0,866 | 0,955 | 0,827 | 48 | _ | _ | | _ | _ | |
| 17/24 = 0,71 | 17 (1-18) | 8 | | 0,896 | 0,955 | 0,856 | 48 | - | - | - | _ | _ | |

Количество катушечных групп в фазе и рекомендуемые шаги по пазам в двухслойных и однослойных обмотках "в развалку"

| об. мин. | Z | у | катушечных групп в фазах × катушек в группе | у | катушечных групп в фазах × катушек в группе | |
|---------------------|----|--------|--|----------------------------------|--|--|
| двухслойная обмотка | | | | однослойная обмотка "в развалку" | | |
| 3000 | 12 | 1 - 6 | 2 × 2 | 1 - 6 | 2 × 1 | |
| 3000 | 18 | 1 - 8 | 2 × 3 | 1 - 8 | $1 \times 1 + 1 \times 2$ | |
| 3000 | 24 | 1 - 9 | 2 × 4 | 1 – 11 | 2 × 2 | |
| 3000 | 30 | 1 - 11 | 2 × 5 | _ | - | |
| 3000 | 36 | 1 – 13 | 2 × 6 | 1 - 16 | 2 × 3 | |
| 3000 | 48 | 1 - 18 | 2 × 8 | 1 – 21 | 2 × 4 | |
| 1500 | 18 | 1 – 5 | $2 \times 1 + 2 \times 2$ | _ | _ | |
| 1500 | 24 | 1 - 6 | 4 × 2 | 1 - 6 | 4 × 1 | |
| 1500 | 27 | 1 – 7 | $3 \times 2 + 1 \times 3$ | - | _ | |
| 1500 | 36 | 1 - 8 | 4 × 3 | 1 – 8; 1 – 9 | $2 \times 1 + 2 \times 2$ | |
| 1500 | 42 | 1 – 9 | $2 \times 3 + 2 \times 4$ | - | _ | |
| 1500 | 48 | 1 - 11 | 4 × 4 | 1 – 11 | 4 × 2 | |
| 1500 | 54 | 1 - 13 | $2 \times 4 + 2 \times 5$ | _ | _ | |
| 1500 | 60 | 1 - 14 | 4 × 5 | _ | _ | |
| 1000 | 27 | 1 – 5 | $3 \times 1 + 3 \times 2$ | _ | _ | |
| 1000 | 36 | 1 - 6 | 6 × 2 | 1 - 6 | 6 × 1 | |
| 1000 | 45 | 1 – 7 | $3 \times 2 + 3 \times 3$ | _ | _ | |
| 1000 | 54 | 1 - 8 | 6 × 3 | 1 – 8, 1 – 9 | $3 \times 1 + 3 \times 2$ | |
| 1000 | 72 | 1 - 11 | 6 × 4 | 1 - 11 | 6 × 2 | |
| 750 | 36 | 1 – 5 | $4 \times 1 + 4 \times 2$ | _ | | |
| 750 | 48 | 1 - 6 | 8 × 2 | 1 - 6 | 8 × 1 | |
| 750 | 54 | 1 – 7 | 6 × 2 + 2 × 3 | _ | - | |
| 750 | 60 | 1 – 7 | $4 \times 2 + 4 \times 3$ | _ | | |
| 750 | 72 | 1 - 8 | 8 × 3 | _ | | |

Выполнимость однослойных и двухслойных трехфазных обмоток при дробном q.

| скорость вращения, об. мин. (синхр.) | 2 <i>p/Z</i> | 18 | 24 | 30 | 36 | 42 | 48 | 54 | 60 | 66 | 72 |
|---|--------------|----|----|------|------|------|------|------|------|------|------|
| 3000 | 2 | 3 | 4 | 5 | 6 | 7 | 8 | 9 | 10 | ı | ı |
| 1500 | 4 | 1½ | 2 | 2½ | 3 | 3½ | 4 | 41/2 | 5 | 5½ | 6 |
| 1000 | 6 | 1 | _ | - | 2 | - | - | 3 | _ | - | 4 |
| 750 | 8 | - | 1 | 11/4 | 1½ | 1¾ | 2 | 21/4 | 21/2 | 2¾ | 3 |
| 600 | 10 | ı | _ | 1 | 11/5 | 13/5 | 13/5 | 11/5 | 2 | 21/5 | 22/5 |
| 500 | 12 | - | _ | _ | 1 | _ | _ | 1½ | _ | _ | 2 |

| скорость вращения, об. мин. (синхр.) | 2 <i>p/Z</i> | 15 | 21 | 27 | 33 | 39 | 45 | 51 | 57 | 63 | 69 | 75 |
|--------------------------------------|--------------|------|----|------|---------------|-------------|------|---------------|-------------|---------------|-------------|------|
| 3000 | 2 | 2½ | 3½ | 41/2 | 5½ | 6½ | 7½ | 81/2 | 1 | 1 | 1 | _ |
| 1500 | 4 | 11/4 | 1¾ | 21/4 | 23/4 | 31/4 | 3¾ | 41/4 | 43/4 | 51/4 | 5¾ | 61/4 |
| 1000 | 6 | 1 | ı | 1½ | 1 | 1 | 2½ | 1 | 1 | 3½ | 1 | _ |
| 750 | 8 | ı | ı | 11/8 | 13/8 | 15/8 | 1% | 21/8 | 23/8 | 25/8 | 21/8 | 31/8 |
| 600 | 10 | 1 | ı | 1 | $1^{1}/_{10}$ | $1^3/_{10}$ | 1½ | $1^{7}/_{10}$ | $1^9/_{10}$ | $2^{1}/_{10}$ | $2^3/_{10}$ | 2½ |
| 500 | 12 | _ | - | | - | _ | 11/4 | - | _ | 1¾ | | _ |

Чередование катушек в катушечных группах при дробном q – катушек на полюс и фазу.

Дробное число пазов в общем случае может быть представлено в виде смешанного (целого с правильной дробью) числа:

$$q = b + \frac{c}{d}$$

где b – целое число; c/d – несократимая (правильная) дробь. Обмотку с дробным q обычно выполняют из малых и больших катушечных групп, отличающихся количеством катушек. В малой катушечной группе число катушек равно b, т. е. целой части числа q, в большой – на одну больше, т. е. b+1. Эти катушечные группы для получения одинакового числа витков и пазов в фазах должны при укладке чередоваться в определенном порядке представленном таблице.

Порядок чередования катушечных групп при дробном числе пазов на полюс и фазу.

| - | |
|---------------|--|
| q | порядок чередования катушечных групп |
| $1^{1}/_{2}$ | 1, 2; 1, 2; |
| $1^{1}/_{4}$ | 1, 1, 1, 2; 1, 1, 1, 2 |
| $1^{3}/_{4}$ | 1, 2, 2, 2; 1, 2, 2, 2 |
| $1^{1}/_{5}$ | 1, 1, 1, 1, 2; 1, 1, 1, 1, 2 |
| $1^2/_5$ | 2, 1, 2, 1, 1; 2, 1, 2, 1, 1 |
| $1^{3}/_{5}$ | 1, 2, 1, 2, 2; 1, 2, 1, 2, 2 |
| $1^4/_5$ | 2, 2, 2, 2, 1; 2, 2, 2, 2, 1 |
| $1^{1}/_{7}$ | 1, 1, 1, 1, 1, 2; 1, 1, 1, 1, 1, 2 |
| $1^2/_7$ | 1, 2, 1, 1, 1, 2, 1; 1, 2, 1, 1, 1, 2, 1 |
| $1^{3}/_{7}$ | 2, 1, 2, 1, 2, 1, 1; 2, 1, 2, 1, 1, |
| $1^4/_7$ | 2, 1, 2, 1, 2, 1, 2; 2, 1, 2, 1, 2, 1, 2 |
| $1^{5}/_{7}$ | 2, 1, 2, 2, 2, 1, 2; 2, 1, 2, 2, 2, 1, 2, |
| $1^{6}/_{7}$ | 2, 2, 2, 2, 2, 1; 2, 2, 2, 2, 2, 1 |
| $1^{1}/_{8}$ | 1, 1, 1, 1, 1, 1, 2; 1, 1, 1, 1, 1, 1, 2 |
| $1^{3}/_{8}$ | 2, 1, 2, 1, 1, 2, 1, 1; 2, 1, 2, 1, 1, 2, 1, 1 |
| $1^{5}/_{8}$ | 2, 2, 1, 2, 2, 1, 2, 1; 2, 2, 1, 2, 2, 1, 2, 1 |
| $1^{7}/_{8}$ | 2, 2, 2, 2, 2, 2, 1; 2, 2, 2, 2, 2, 2, 1 |
| $1^{1}/_{10}$ | 1, 1, 1, 1, 1, 1, 1, 1, 2; 1, 1, 1, 1, 1, 1, 1, 1, 2 |
| $1^3/_{10}$ | 2, 1, 1, 2, 1, 1, 2, 1, 1, 1; 2, 1, 1, 2, 1, 1, 2, 1, 1, 1 |
| $1^{7}/_{10}$ | 2, 2, 2, 1, 2, 2, 1, 2, 2, 1; 2, 2, 2, 1, 2, 2, 1, 2, 2, 1 |
| $1^9/_{10}$ | 2, 2, 2, 2, 2, 2, 2, 2, 1; 2, 2, 2, 2, 2, 2, 2, 2, 1 |

Если целое числи перед дробью больше единицы, то в таблице чередования надо прибавить к каждой цифре разницу между этой цифрой и единицей. Например:

```
при q = 1^1/_2 чередование 1, 2,
```

при $q = 2^{1}/_{2}$ чередование 2, 3,

при $q = 3^{1}/_{2}$ чередование 3, 4, и так далее

при $q = 1^{1}/_{4}$ чередование 1, 1, 1, 2,

при $q = 2^{1}/_{4}$ чередование 2, 2, 2, 3,

при $q = 3^{1}/_{4}$ чередование 3, 3, 4, и так далее

при $q = 1^3/4$ чередование 1, 2, 2, 2,

при $q = 2^3/4$ чередование 2, 3, 3, 3,

при $q = 3^3/4$ чередование 3, 4, 4, 4, и так далее

